

# 信号检测与估计

## 第二章作业



学号: S18124011

姓名: 王景博

老师: 刘志文

中国航天科工集团第二研究院研究生院

1.设输入信号为三角波，即

$$s(t) = \begin{cases} 2t & 0 \leq t \leq 1 \\ 4-2t & 1 < t \leq 2 \end{cases}$$

试确定相应的白噪声背景下的匹配滤波器(因果系统)的冲激响应、频域传递函数、输出最大信噪比，以及输出信号，并分别画出各自相应的波形图。

解：根据 MF(matched filter)理论可知：

在白噪声背景下 MF 的冲激响应  $h(t)$  为输入感兴趣信号(此题为三角波信号)  $s(t)$  的翻转共轭，即有以下形式：

$$h(t) = Ks^*(t_d - t)$$

其中  $K$  是一个常数，可取 1。 $t_d$  为时延，一方面可以保证 MF 的冲激响应函数为因果信号，另一方面表示观测输出最大 SNR 时刻。对于本题三角波来说， $t_d$  可取大于等于其时宽  $T$  的数，但是由于数字系统可以利用系统中数据的存储性能，所以非因果系统可以实现，但是不能做到实时性，即有延时，故  $t_d$  取值并不是很重要，可以取 0。对于模拟系统，非因果系统的确无法实现，此题，取  $t_d = 2s$ ，从而保证系统的因果性，又因为输入感兴趣信号  $s(t)$  为实信号，故可得：

$$h(t) = s(2-t) = s(t)$$

由于三角波信号为矩形信号(门信号)的线性卷积，可得：

$$h(t) = s(t) = 2g_\tau(t-1) * g_\tau(t)$$

其中  $\tau$  为门信号门宽，此题为 1， $g_\tau(t)$  定义为：

$$g_\tau(t) = \begin{cases} 1 & |t| \leq \frac{\tau}{2} \\ 0 & |t| > \frac{\tau}{2} \end{cases}$$

可求得门函数的傅里叶变换为：

$$G(j\omega) = \int_{-\infty}^{+\infty} g_{\tau}(t) e^{-j\omega t} dt = \int_{-\frac{\tau}{2}}^{\frac{\tau}{2}} e^{-j\omega t} dt = \tau sa\left(\omega \frac{\tau}{2}\right) = sa\left(\frac{\omega}{2}\right)$$

其中  $sa(x) = \frac{\sin x}{x}$ ，也称作  $\text{sinc}(x)$ 。

故可得 MF 的频域传递函数为：

$$H(j\omega) = s(j\omega) = 2|G(j\omega)|^2 e^{-j\omega} = 2sa^2\left(\frac{\omega}{2}\right) e^{-j\omega}$$

由 MF 理论可知，输出最大 SNR 为：

$$SNR_o(t_d) = \frac{E}{\frac{N_0}{2}} = \frac{2E}{N_0}$$

其中  $E$  为输入感兴趣信号  $s(t)$  的能量， $E = \int_{-\infty}^{+\infty} s^2(t) dt = \frac{1}{2\pi} \int_{-\infty}^{+\infty} |s(j\omega)|^2 d\omega$ ，

$\frac{N_0}{2}$  为输入白噪声的功率谱密度。此题

$E = \int_{-\infty}^{+\infty} |s(t)|^2 dt = \int_0^1 4t^2 dt + \int_1^2 (4-2t)^2 dt = \frac{8}{3}$ 。白噪声属于随机信号，计算其功

率谱密度要进行统计平均，由于仿真一次只存在一次白噪声样本，需

要做大量样本观测才能得出功率谱密度近似值，当然也可以通过计算

一次白噪声样本的自相关函数做 Fourier 变换得到其功率谱密度的近

似值；由于零均值白噪声的平均功率为其方差，如果已知白噪声的带

宽，也可以得到功率谱密度，同时也可以查阅有关功率谱密度估计的

文献来估计功率谱密度。此题将其认为是一个已知值，不加以计算，

所以输出最大  $SNR_o(t_d) = \frac{2E}{N_0} = \frac{16}{3N_0}$ 。

无噪声时的输出信号为：

$$s_0(t) = s(t) * h(t) = s(t) * s(t) = F^{-1}[s(j\omega) \cdot H(j\omega)] = F^{-1}[s^2(j\omega)]$$

即为两个三角波的线性卷积。

有噪声时的输出信号为：

$$x_o(t) = x_i(t) * h(t) = F^{-1}[x(j\omega) \cdot H(j\omega)]$$

其中  $x_i(t) = s(t) + n_i(t)$  ( $n_i(t)$  为输入白噪声信号)。由于输出信号含有噪声信号，故无法给出其具体的表达式，但可以知晓输出信号是无噪声情况下加入噪声的信号。

当输入信号  $x_i(t)$  的 SNR 设置为 -20dB，可得下图：

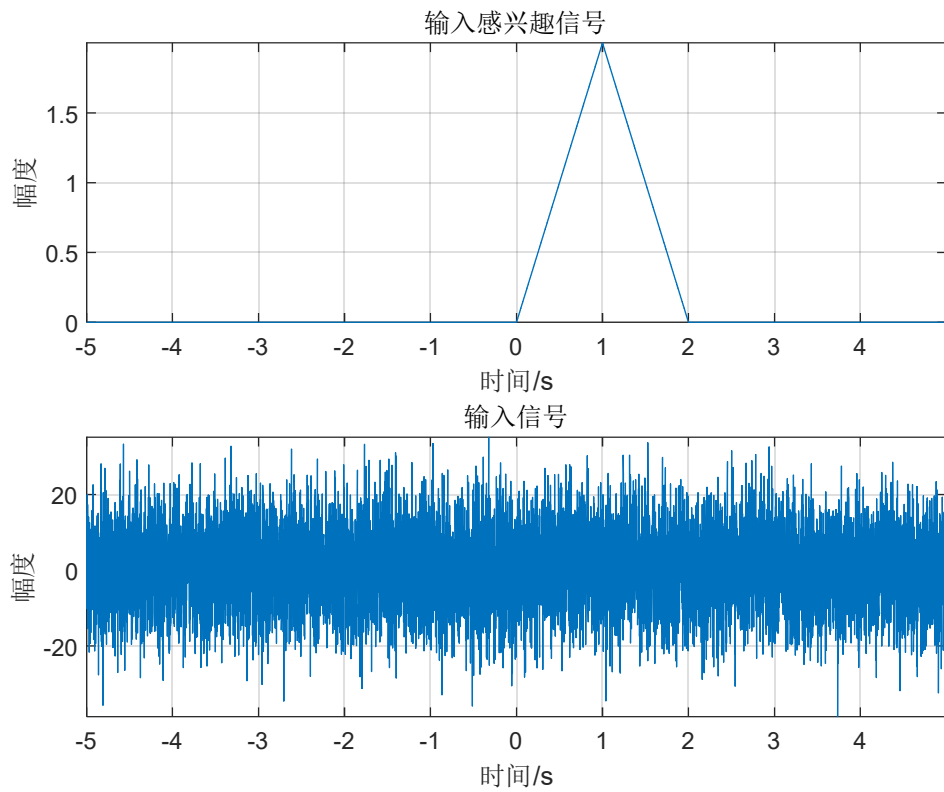


图 1.输入感兴趣信号与输入信号

由图可知，当 SNR=-20dB 时，信号功率是噪声平均功率的  $\frac{1}{100}$ ，可以看到信号被噪声淹没。

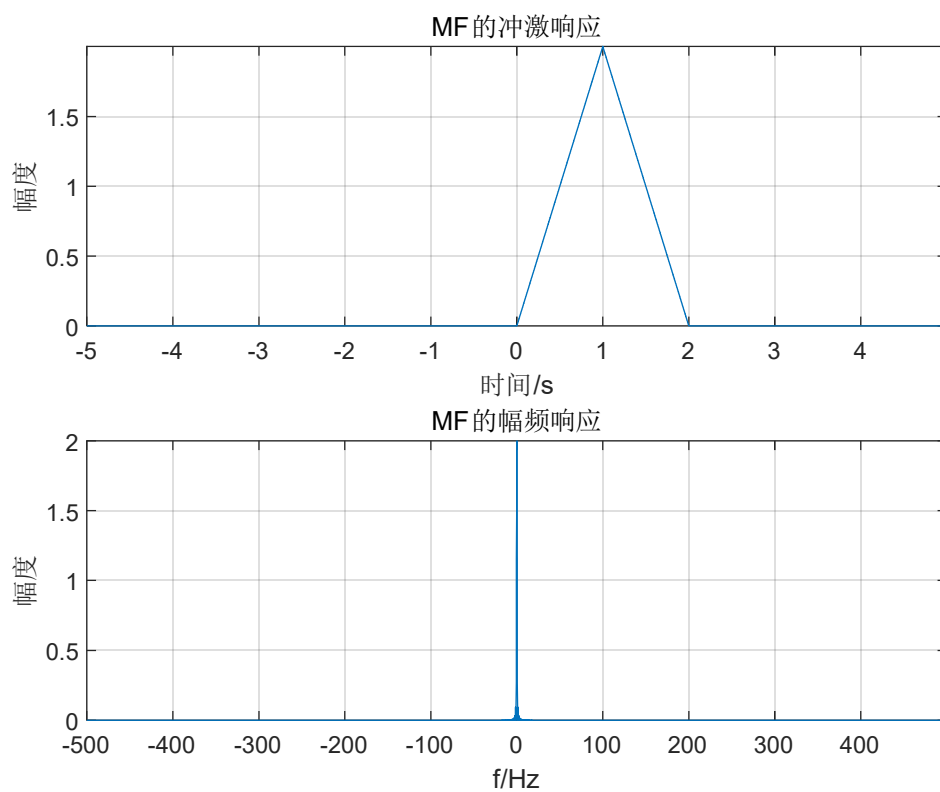


图 2.MF 冲激响应及幅频响应

理论上  $MF$  的冲激响应  $h(t)$  与输入噪声  $n_i(t)$  无关，只与输入感兴趣信号  $s(t)$  有关，其幅频响应是一个  $\text{sinc}$  函数的平方的特性图。

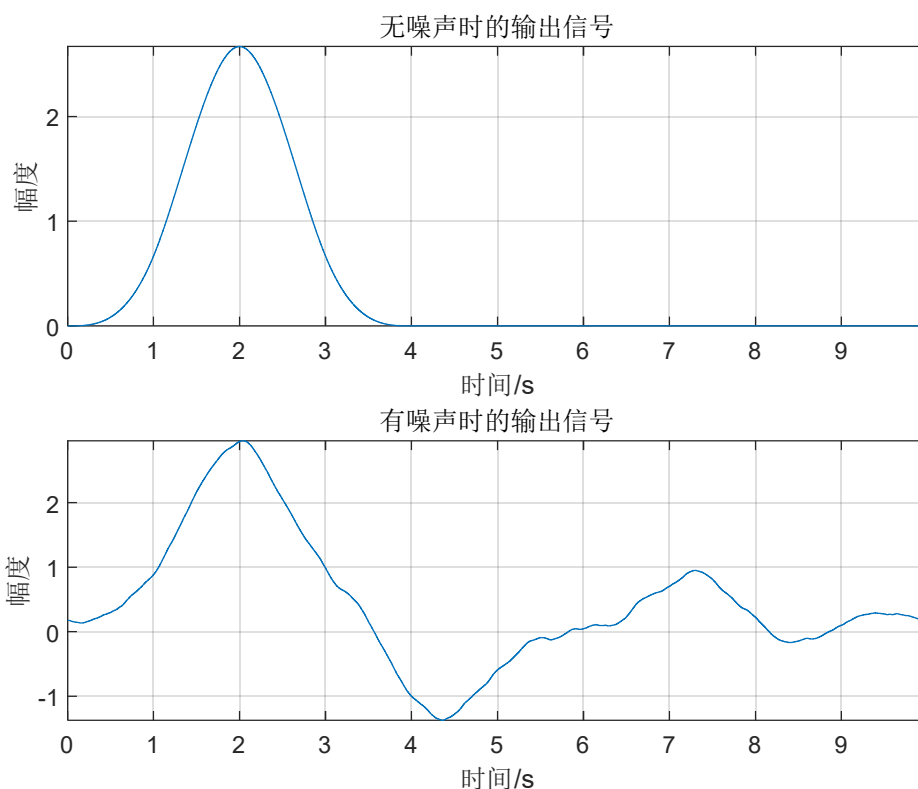


图 3.MF 输出信号

由于噪声存在，故  $MF$  输出信号有起伏变化，但其取最大值的位置不变，仍是理论上的  $t_d = 2s$  处。

2.针对下列四种信号：

$$(1) s_1(t) = AR_T(t)$$

$$(2) s_2(t) = AR_T(t) \sin \omega_0 t$$

$$(3) s_3(t) = AR_T(t) \sin(\omega_0 t + kt^2 / 2)$$

$$(4) s_4(t) = \sum_{k=0}^{N-1} Ac_k R_\tau(t - k\tau) \sin(\omega_0 t) \quad , 0 \leq t \leq T$$

其中  $c_k \in \{-1, 1\}$  为伪随机序列（比如  $M$  序列）； $\tau = T/N$ ， $A$  为常数，

$$R_T(t) = \begin{cases} 1, & 0 \leq t \leq T \\ 0, & \text{其它} \end{cases}$$

**要求：**分别给出上述四种信号相应的物理可实现的匹配滤波器的

(1)冲激响应  $h_k(t)$ , k=1,2,3,4

- (2)输出信号分量 $s_{o_k}(t)$ 的波形,  $k=1,2,3,4$
- (3)改变信号的参数 $(\omega_0, T, k, \tau, N)$ 值, 观察 $s_{o_k}(t)$ ,  $k=1,2,3,4$  的变化, 并说明你的发现或有何启示。
- (4)考虑输入白高斯噪声的影响, 比如改变输入信噪比的大小 (SNR:  $0 \sim 20\text{dB}$ ), 重复完成上述要求(3)。
- (5)若输入同时还存在一个相应的延时信号, 即 $s_k(t-\tau_0)$ , 重复完成上述要求(4)。

解:

(1)第一种信号

根据 MF 理论可知:

MF 的冲激响应 $h(t)$ 为输入感兴趣信号(此题为矩形信号) $s_1(t)$ 的翻转共轭, 即有以下形式:

$$h(t) = Ks_1^*(t_d - t)$$

其中  $K$  是一个常数, 可取 1,  $t_d$  为时延, 为保证 MF 的冲激响应函数为因果信号。对于本题矩形信号来说,  $t_d$  可取大于等于其时宽  $T$  的数, 但是由于数字系统可以利用系统中数据的存储性能, 所以非因果系统可以实现, 但是不能做到实时性, 即有延时, 故  $t_d$  取值并不是很重要, 可以取 0。对于模拟系统, 非因果系统的确无法实现, 此题, 取  $t_d = T$ , 从而保证系统的因果性, 又因为输入感兴趣信号  $s_1(t)$  为实信号, 故可得:

$$h(t) = s_1(T - t) = s_1(t) = AR_T(t)$$

此题取  $A=1$ ,  $T=1$ 。

由此可得下图：

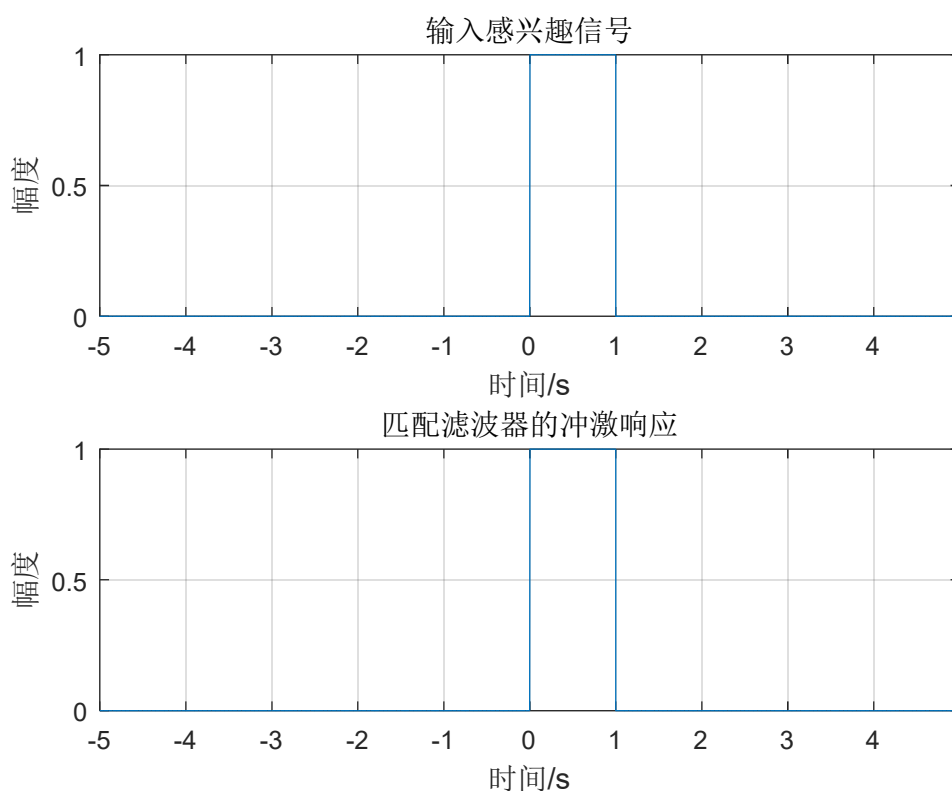


图 4.输入感兴趣信号与 MF 的冲激响应

无噪声时的输出信号为：

$$s_0(t) = s_1(t) * h(t) = s_1(t) * s_1(t) = F^{-1} [s_1(j\omega) \cdot H(j\omega)] = F^{-1} [s_1^2(j\omega)]$$

即为矩形信号的线性卷积，是一个三角波。

有噪声时的输出信号为：

$$x_o(t) = x_i(t) * h(t) = F^{-1} [x(j\omega) \cdot H(j\omega)]$$

其中  $x_i(t) = s_1(t) + n_i(t)$  ( $n_i(t)$  为输入白噪声信号)。由于输出信号含有噪声信号，故无法给出其具体的表达式，但可以知晓输出信号是无噪声情况下的三角波信号加入噪声的信号。

可得下图：



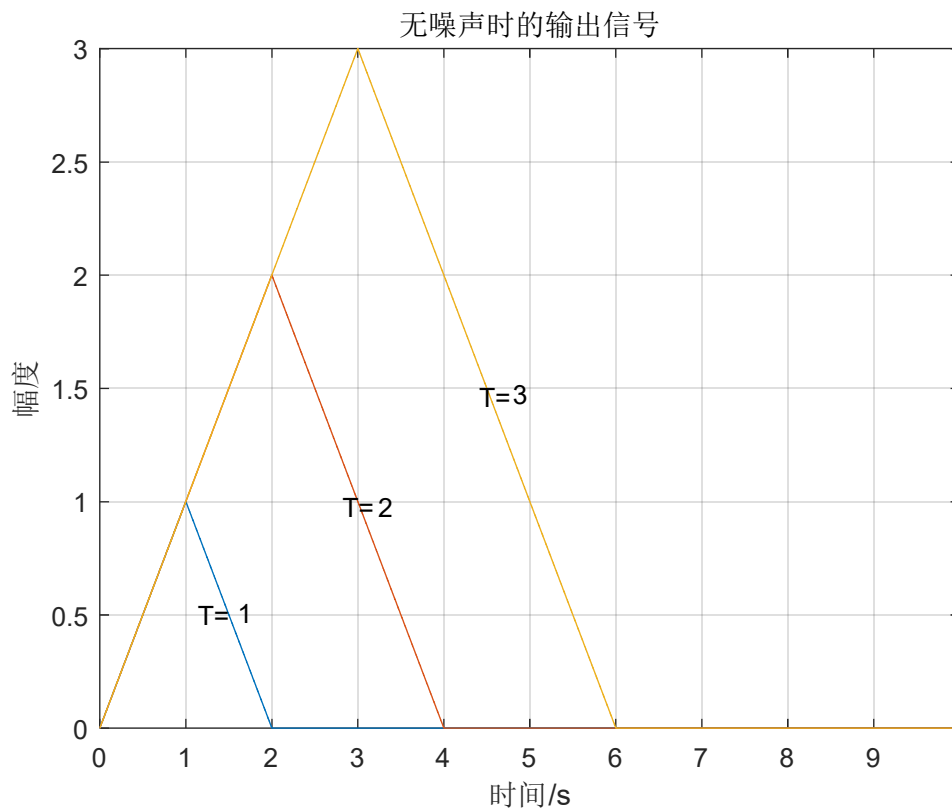


图 5.未加噪声  $T=1,2,3s$  时的 MF 输出

通过改变脉冲信号的时宽  $T$ ，令  $T=1,2,3s$  变化，可以从匹配滤波器输出看到输出的最大值随脉冲信号时宽  $T$  线性增大，输出信号始终为三角波，且最大值取值对应于  $t_d=T$  处。

考虑输入有高斯白噪声，令  $SNR=0,10,20dB$  变化，可得输出：

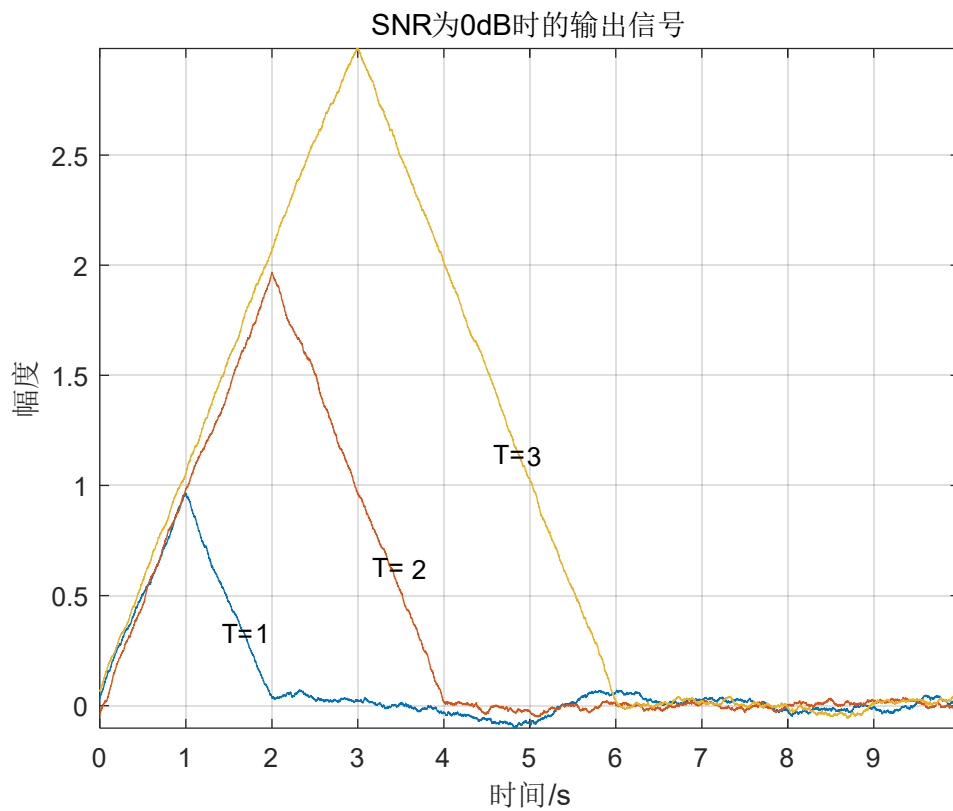


图 6.SNR 为 0dB 时的 MF 输出

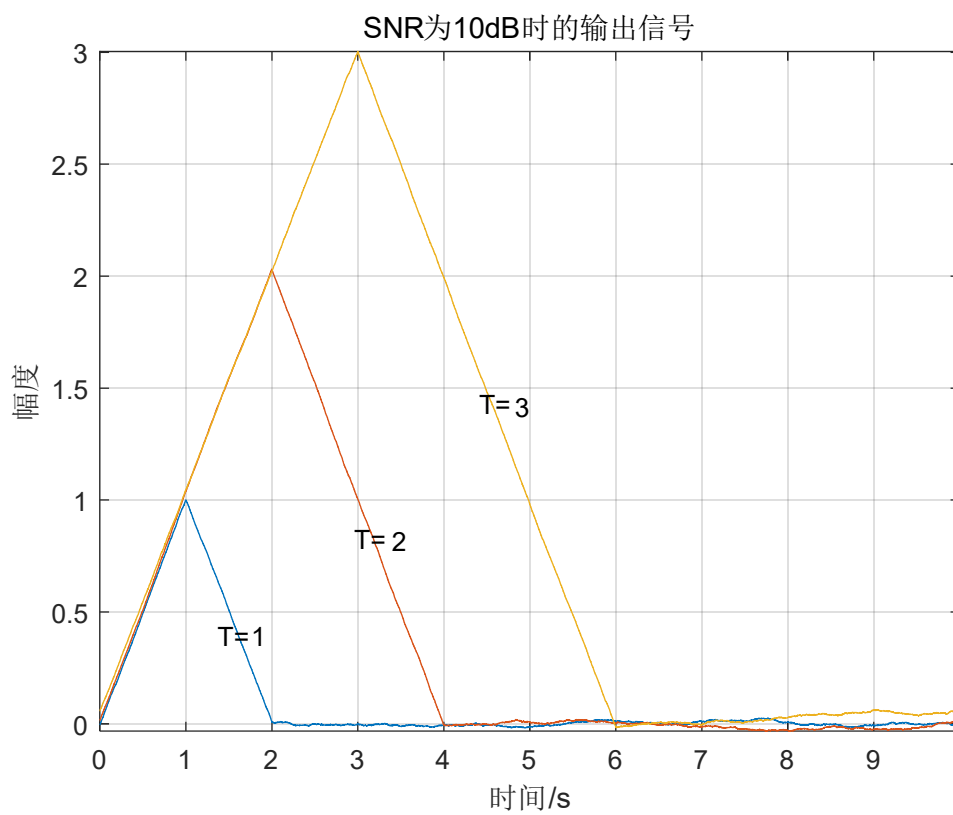


图 7.SNR 为 10dB 时的 MF 输出

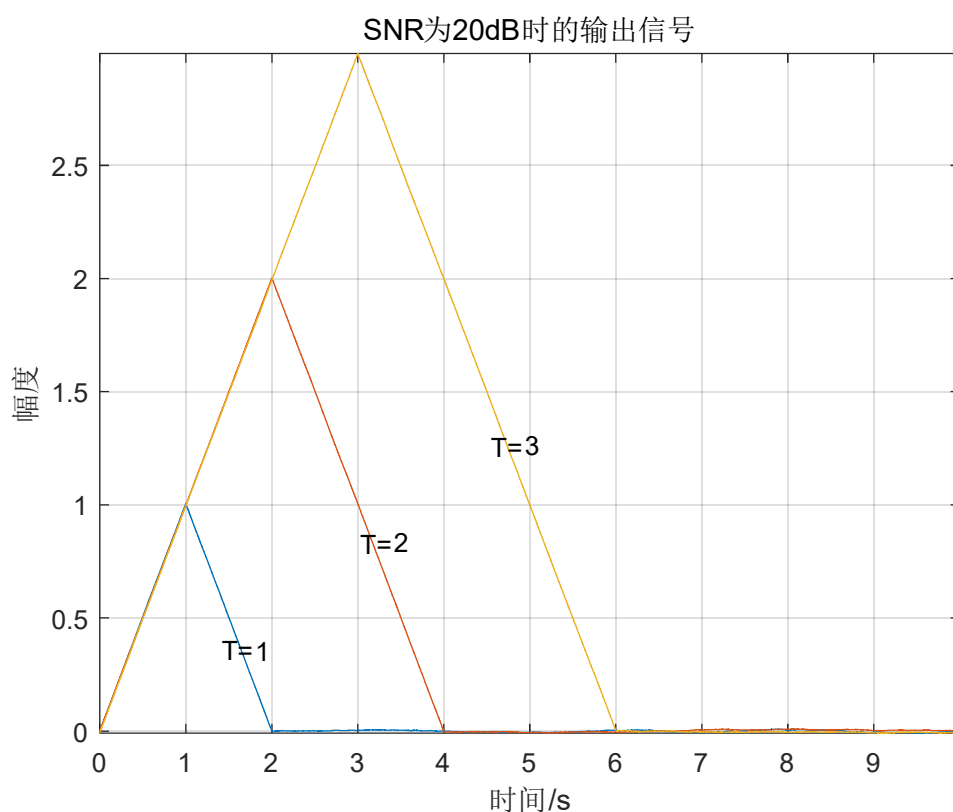


图 8.SNR 为 20dB 时的 MF 输出

由图 6 到图 8 对比可得，SNR 越大，噪声对输出波形的影响越小，但不影响取最大值的位置  $t_d=T$ ；输出波形大致保持为三角波形状。

考虑延迟信号，很明显当  $\tau_0 \geq 2T$  时，延迟信号与原信号输出响应互不干扰，没有叠加部分。这里只讨论  $\tau_0 < 2T$  的情况。令  $\tau_0 = 0.8T$ ，并且使 SNR=0,10,20dB 变化，可得输出：

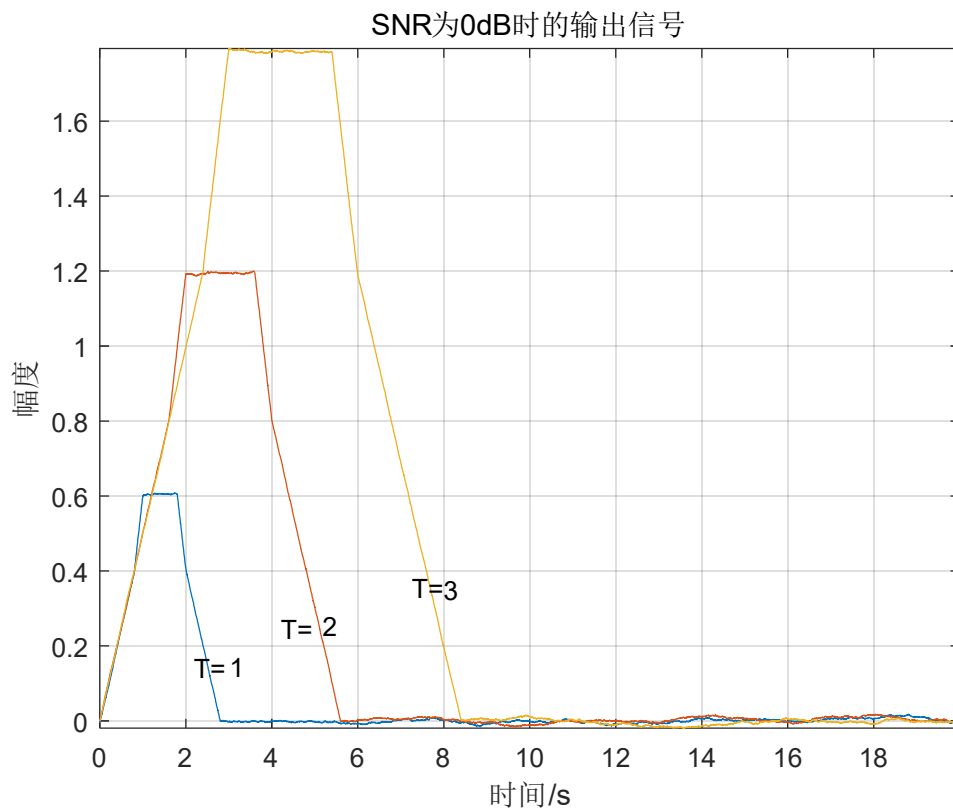


图 9. SNR 为 0dB 时的 MF 输出

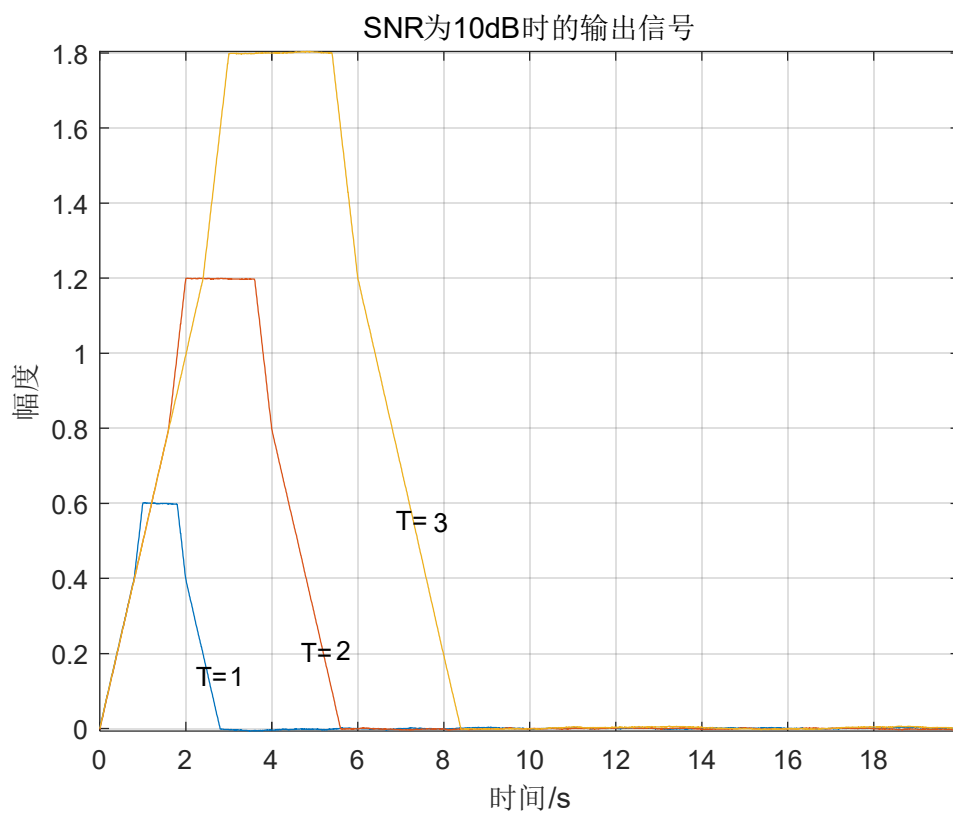


图 10. SNR 为 10dB 时的 MF 输出

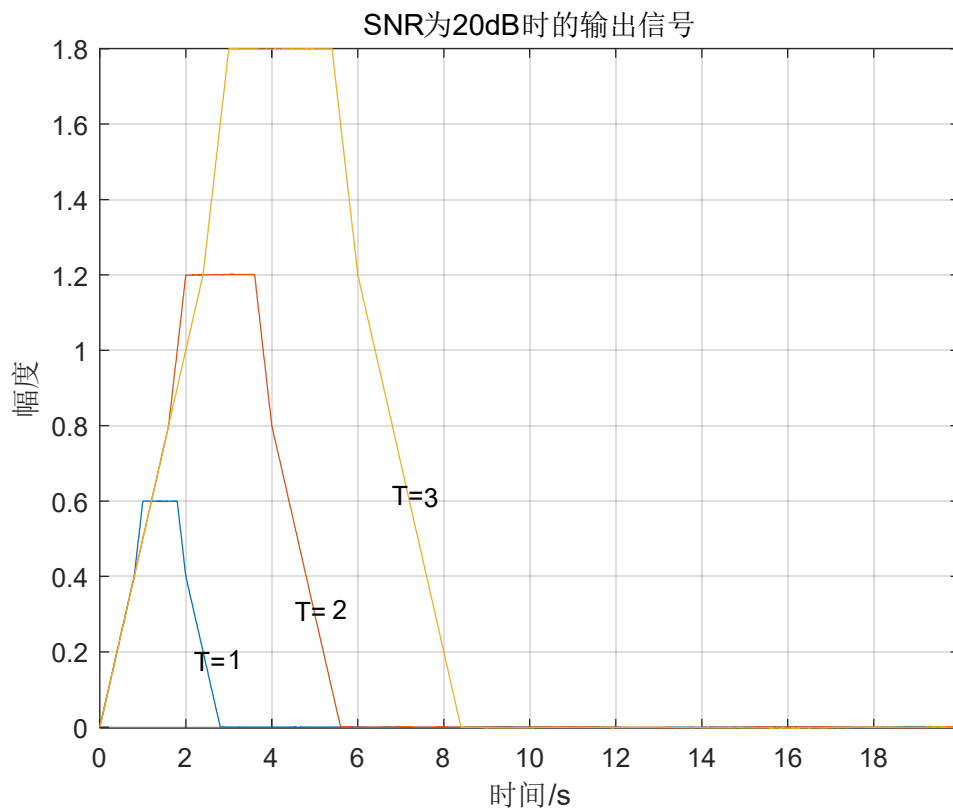


图 11.SNR 为 20dB 时的 MF 输出

令  $\tau_0 = T$ , 并且使 SNR=0,10,20dB 变化, 可得输出:

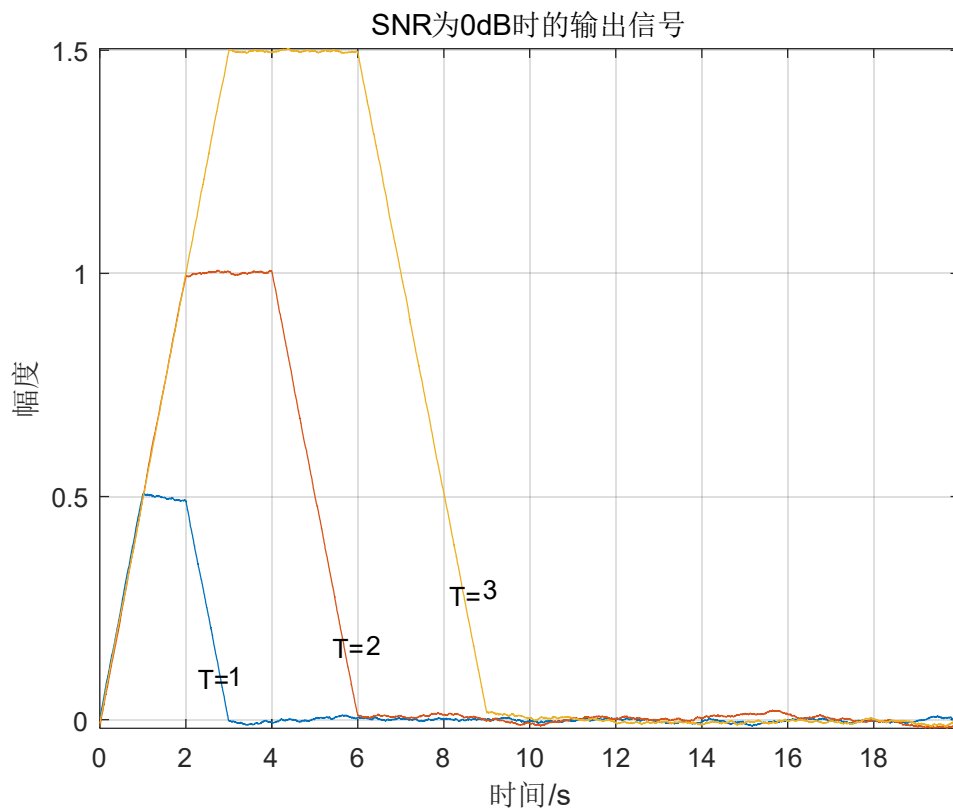


图 12.SNR 为 0dB 时的 MF 输出

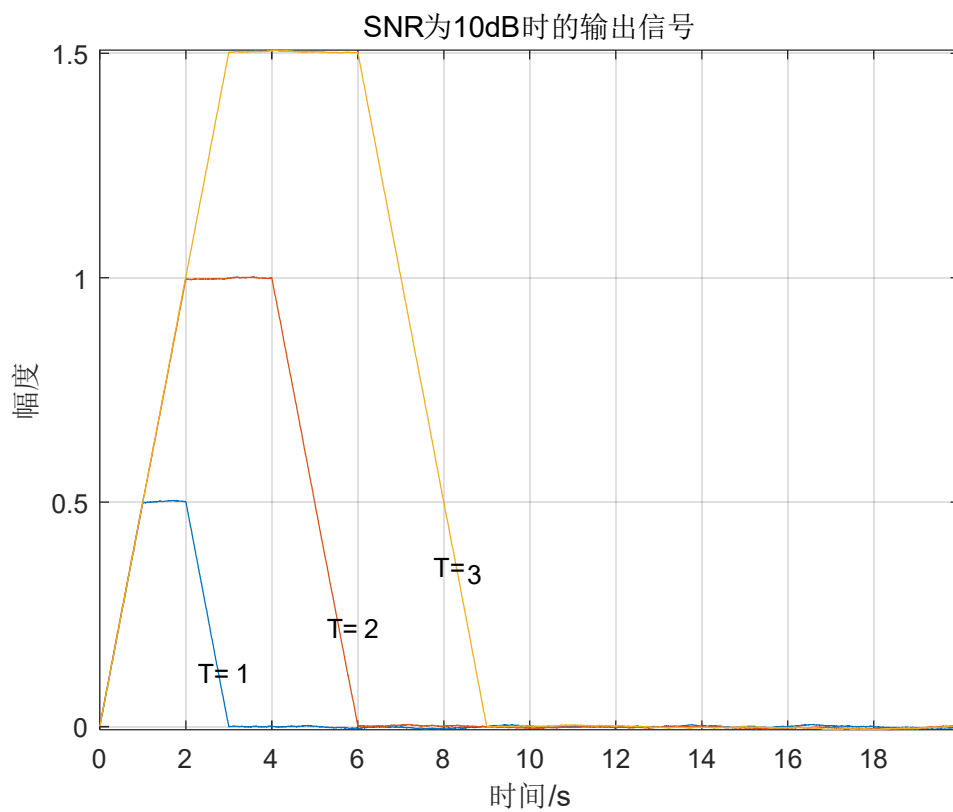


图 13.SNR 为 10dB 时的 MF 输出

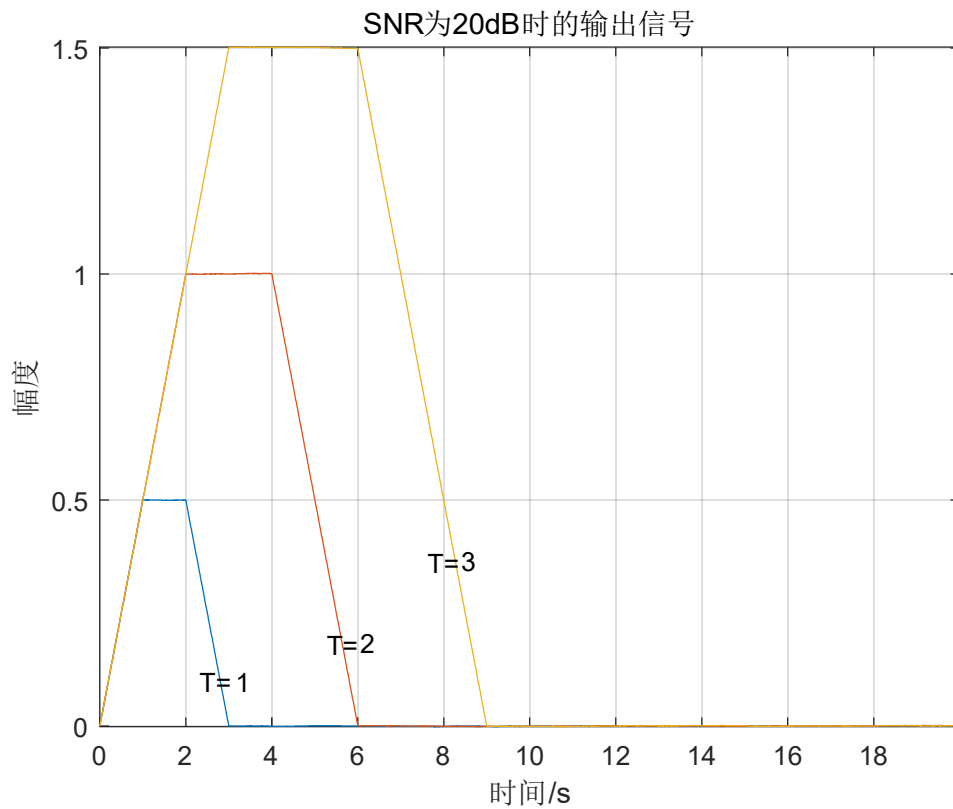


图 14.SNR 为 20dB 时的 MF 输出

令  $\tau_0 = 1.2T$ , 并且使 SNR=0,10,20dB 变化, 可得输出:

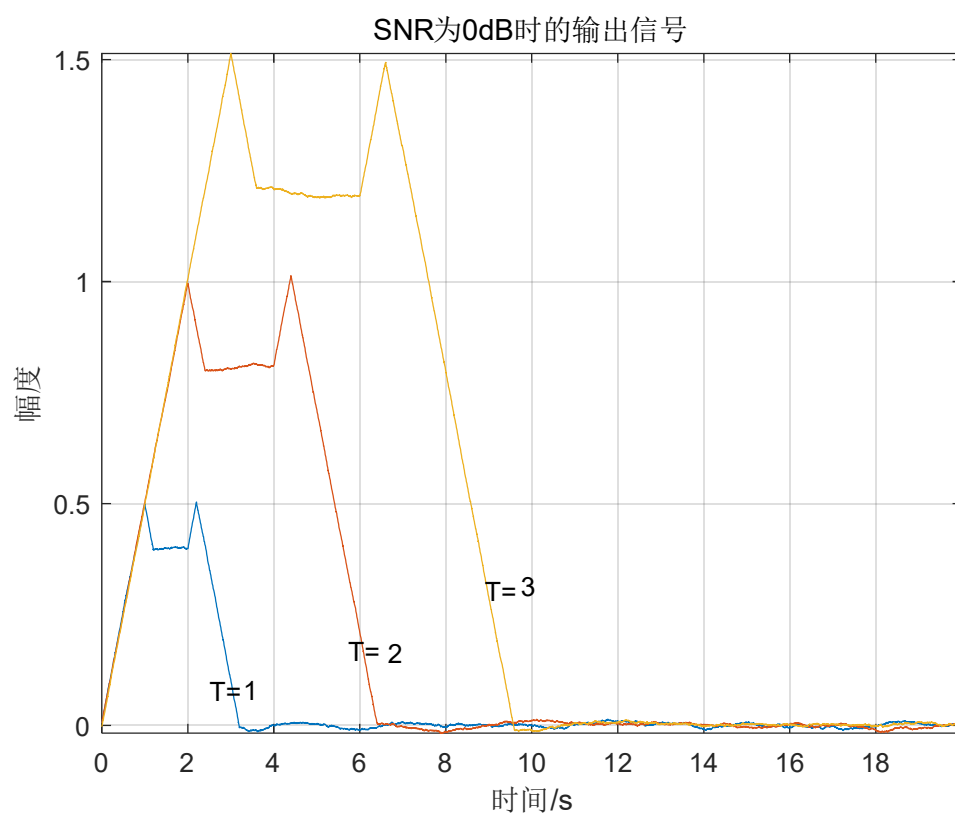


图 15.SNR 为 0dB 时的 MF 输出

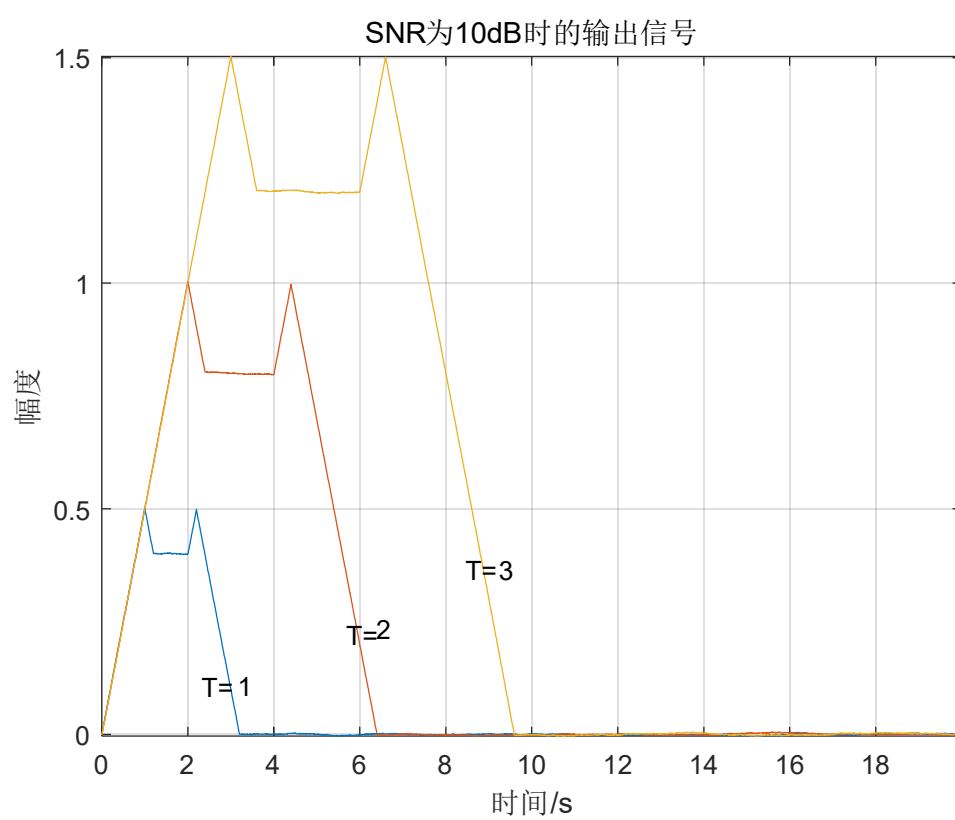


图 16.SNR 为 10dB 时的 MF 输出

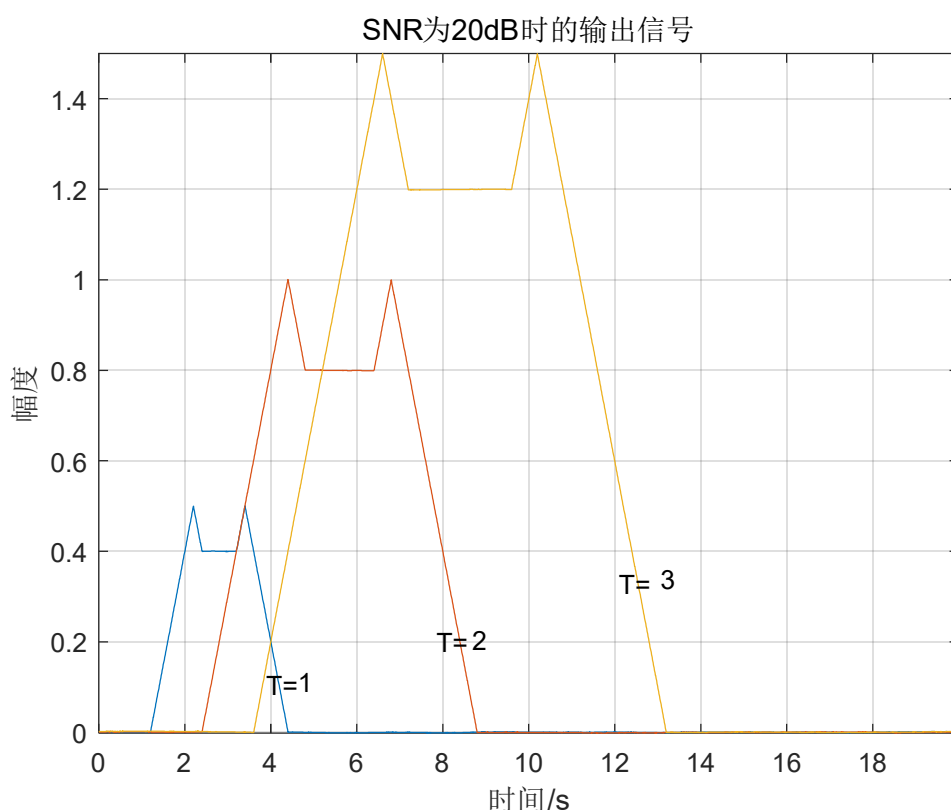


图 17.SNR 为 20dB 时的  $MF$  输出

由图 9 到图 17 对比可得，SNR 越大，噪声对输出波形的影响越小。此时输出有混叠产生，不能分辨原信号及其延迟信号的峰值，主要原因是时延比原信号时宽  $T$  小，如果时延比原信号时宽  $T$  大，则明显分辨原信号及其延迟信号的峰值。

## (2) 第二种信号

根据 MF 理论可知：

MF 的冲激响应  $h(t)$  为输入感兴趣信号(此题为脉冲调制正弦波信号)  $s_2(t)$  的翻转共轭，即有以下形式：

$$h(t) = K s_2^*(t_d - t)$$

其中  $K$  是一个常数，可取 1， $t_d$  为时延，为保证  $MF$  的冲激响应函数为因果信号。对于本题脉冲调制正弦波信号来说， $t_d$  可取大于其时宽  $T$  的数，但是由于数字系统可以利用系统中数据的存储性能，所以非



因果系统可以实现，但是不能做到实时性，即有延时，故 $t_d$ 取值并不是很重要，可以取 0。对于模拟系统，非因果系统的确无法实现，此题，取 $t_d = T$ ，从而保证系统的因果性，又因为输入感兴趣信号 $s_2(t)$ 为实信号，故可得：

$$h(t) = s_2(T-t) = AR_T(T-t)\sin[\omega_0(T-t)] = AR_T(t)\sin[\omega_0(T-t)]$$

此题取  $A=1, T=1s$ ,  $f_0=10\text{HZ}$ 。

由此可得下图：

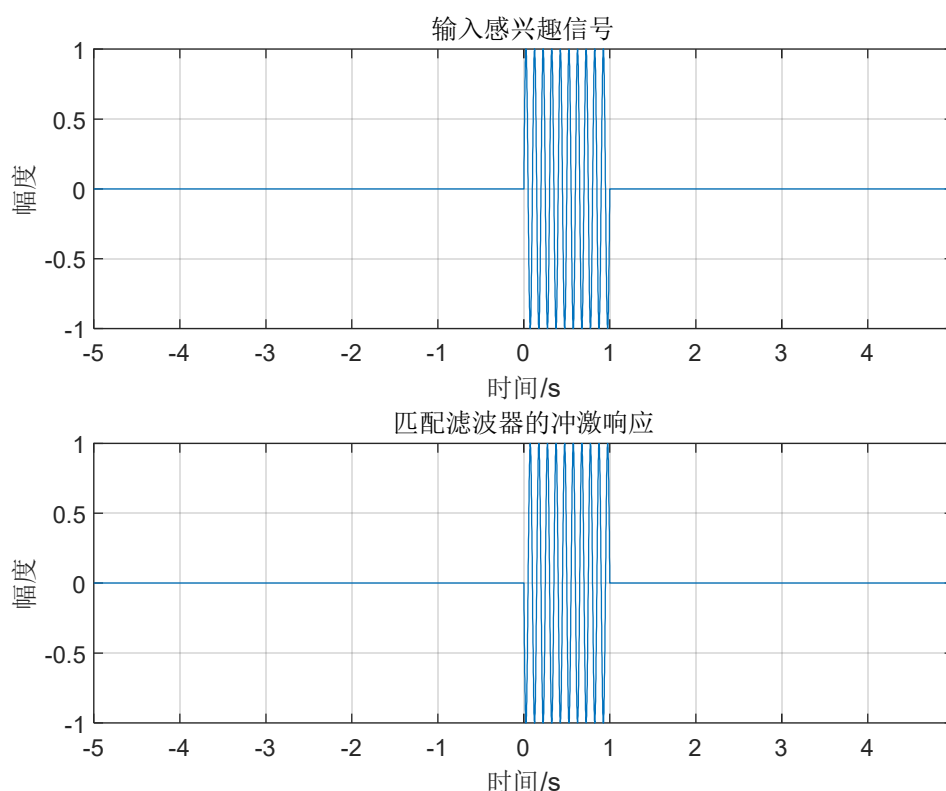


图 18.输入感兴趣信号与  $MF$  的冲激响应

不含噪声时的输出信号为：

$$s_o(t) = s_2(t) * h(t) = F^{-1}[s(j\omega) \cdot H(j\omega)]$$

含噪声时的输出信号为：

$$x_o(t) = x_2(t) * h(t) = F^{-1}[x(j\omega) \cdot H(j\omega)]$$

可得下图：

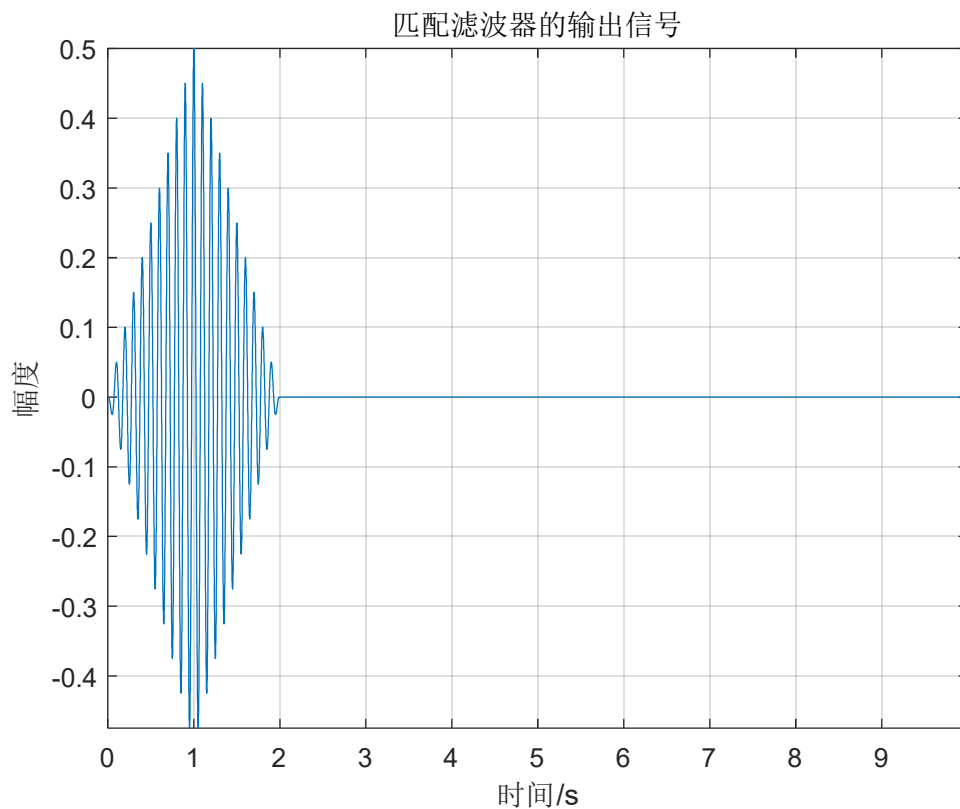


图 19.未加噪声  $T=1s, f_0=10HZ$  时 MF 的输出信号

通过改变脉冲调制正弦波信号的时宽  $T$ ，令  $T=2,3s$  变化，可以从匹配滤波器输出看到输出的最大值随脉冲信号时宽  $T$  正比例增大，且最大值取值对应于  $t_d=T$  处，这点与(1)相同。

通过改变脉冲调制正弦波信号的频率  $f_0$ ，令  $f_0 = 20,30HZ$  变化，可得输出：

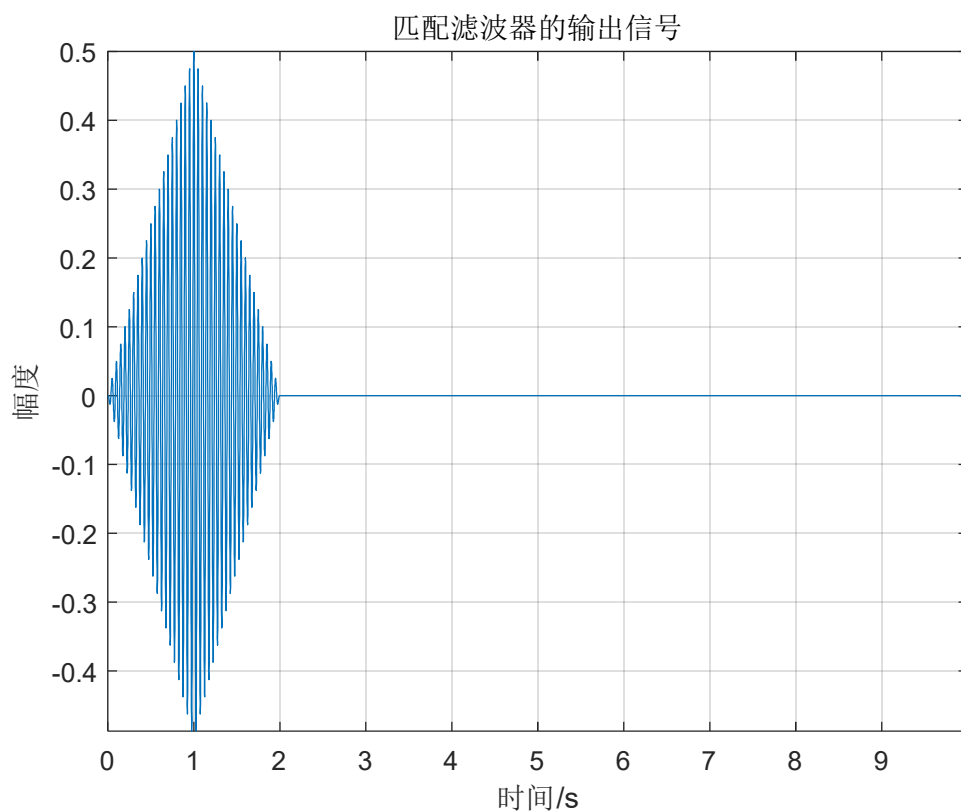


图 20.未加噪声  $T=1s, f_0=20HZ$  时 MF 的输出信号

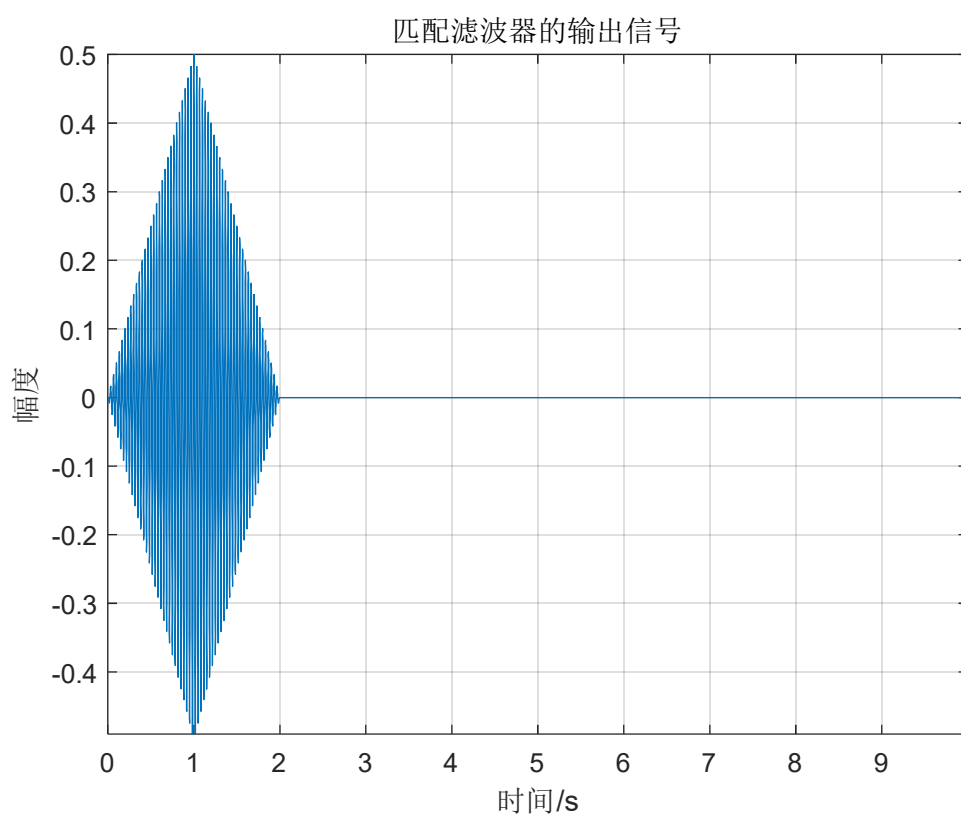


图 21.未加噪声  $T=1s, f_0=30HZ$  时 MF 的输出信号

由图 20,21 可知，改变脉冲调制正弦波信号的频率  $f_0$ ，匹配滤波

器输出的最大值与取最大值的时刻均没有影响，只影响了输出结果调制的正弦波信号的频率。

考虑输入有高斯白噪声，令  $\text{SNR}=0, 10, 20\text{dB}$  变化，可得输出：

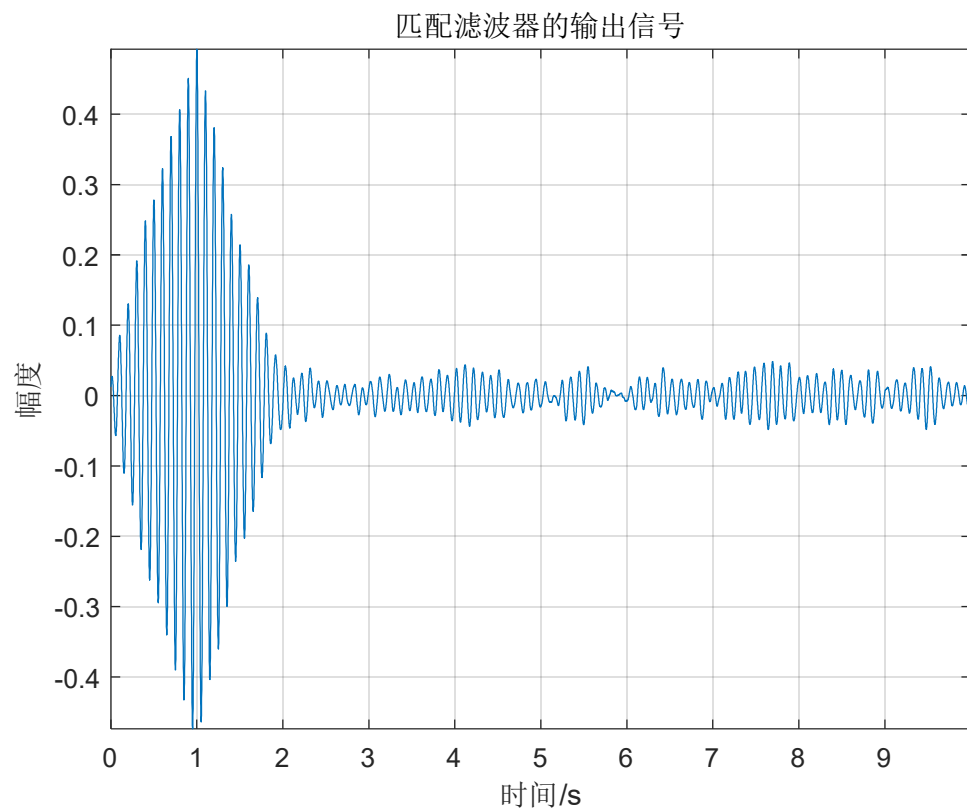


图 22.  $T=1\text{s}, f_0=10\text{Hz}$ ,  $\text{SNR}$  为  $0\text{dB}$  时的 MF 输出

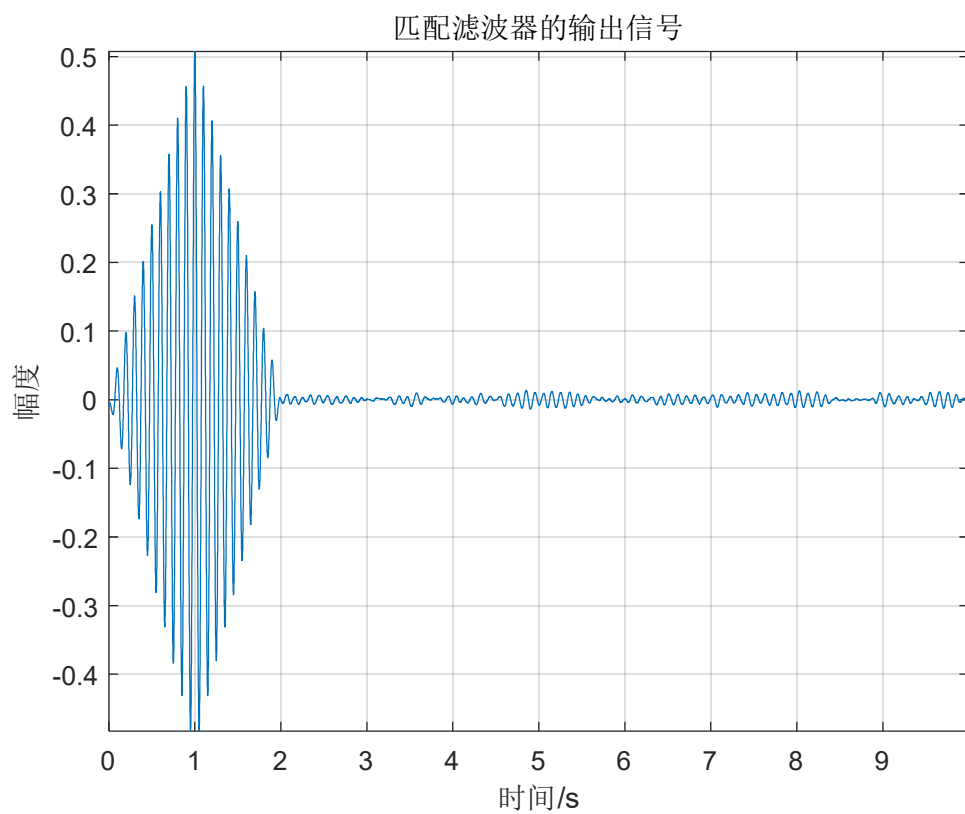


图 23.  $T=1s, f_0=10\text{HZ}$ , SNR 为 10dB 时的 MF 输出

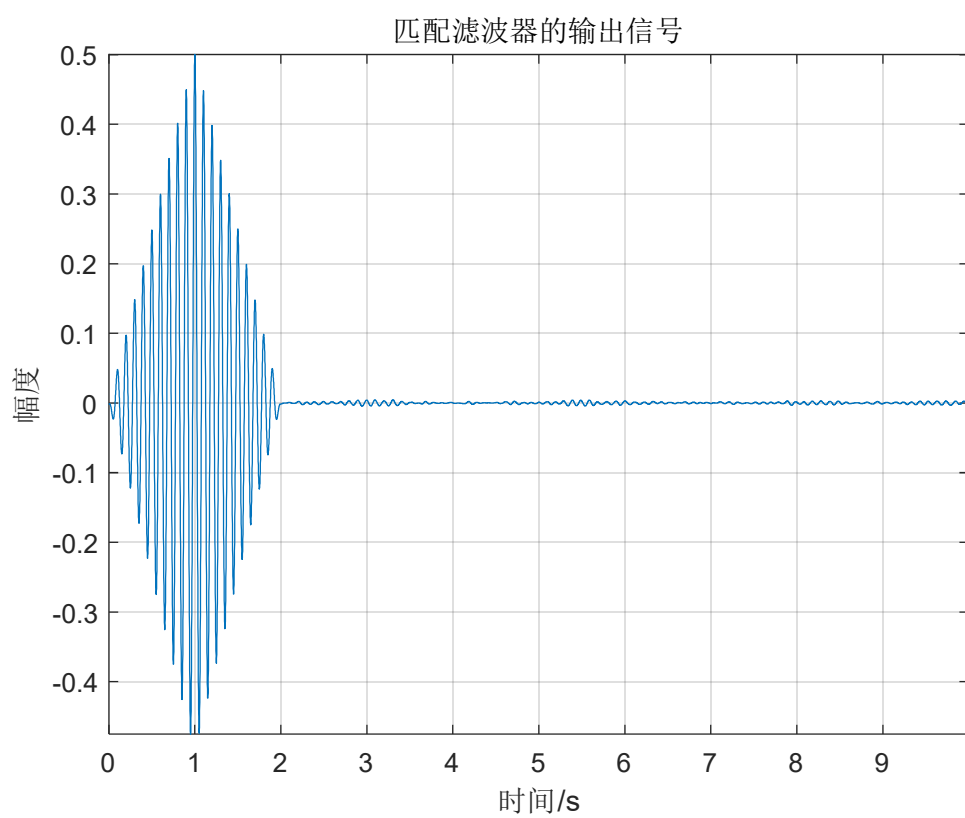


图 24.  $T=1s, f_0=10\text{HZ}$ , SNR 为 20dB 时的 MF 输出

由图 22 到图 24 对比可得，SNR 越大，噪声对输出波形的影响

越小，但不影响取最大值的位置  $t_d=T$ 。改变  $T$  与  $f_0$  的效果同以上分析，这里不再赘述。

考虑延迟信号，考虑延迟信号，很明显当  $\tau_0 \geq 2T$  时，延迟信号与原信号输出响应互不干扰，没有叠加部分。这里只讨论  $\tau_0 < 2T$  的情况。

令  $\tau_0=0.8T$  ,可得输出：

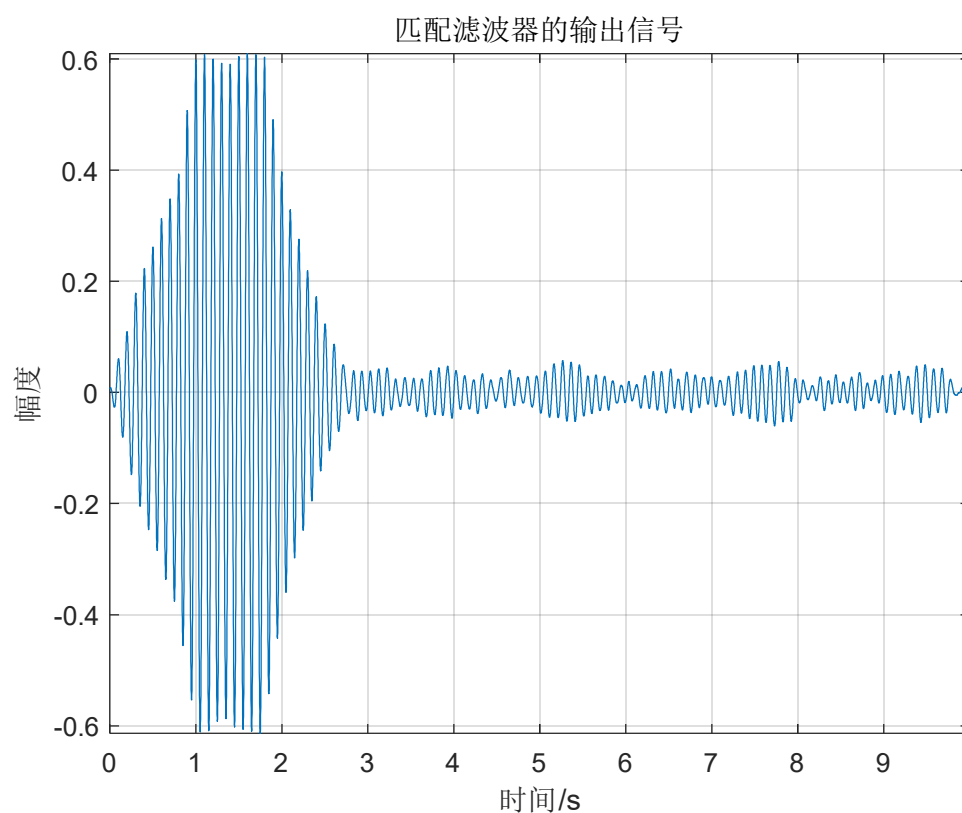


图 25.  $T=1s, f_0=10HZ$ , SNR 为 0dB 时的 MF 输出

令  $\tau_0=T$  ,可得输出：

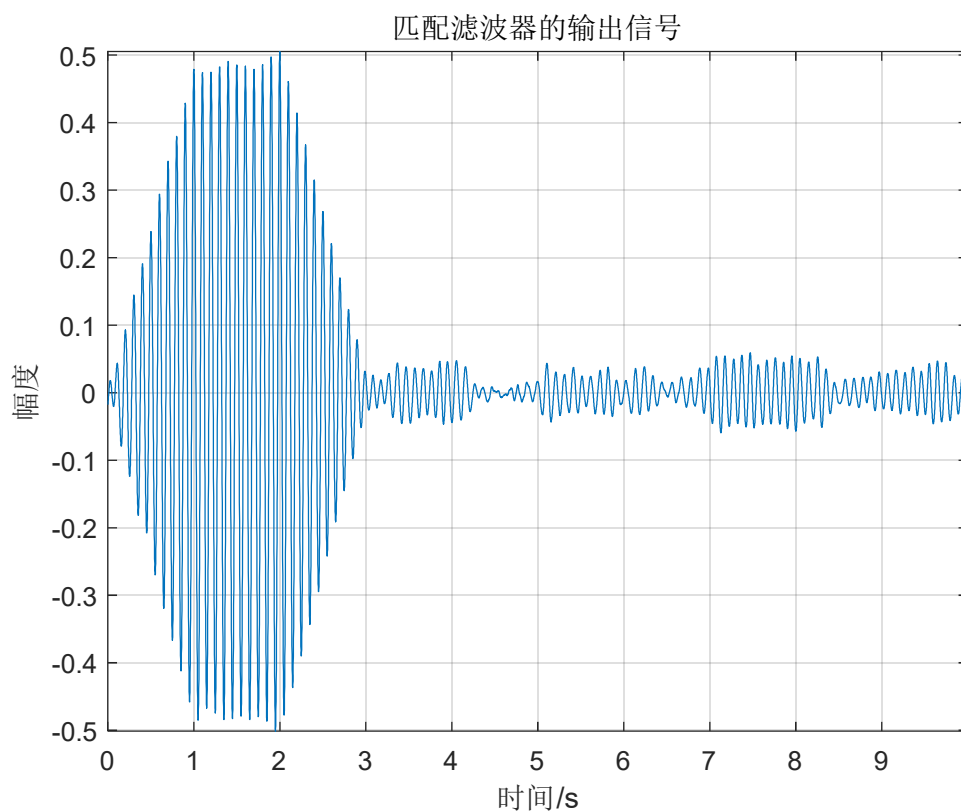


图 26.  $T=1s, f_0=10\text{HZ}$ , SNR 为 0dB 时的 MF 输出

令  $\tau_0=1.2T$ , 可得输出:

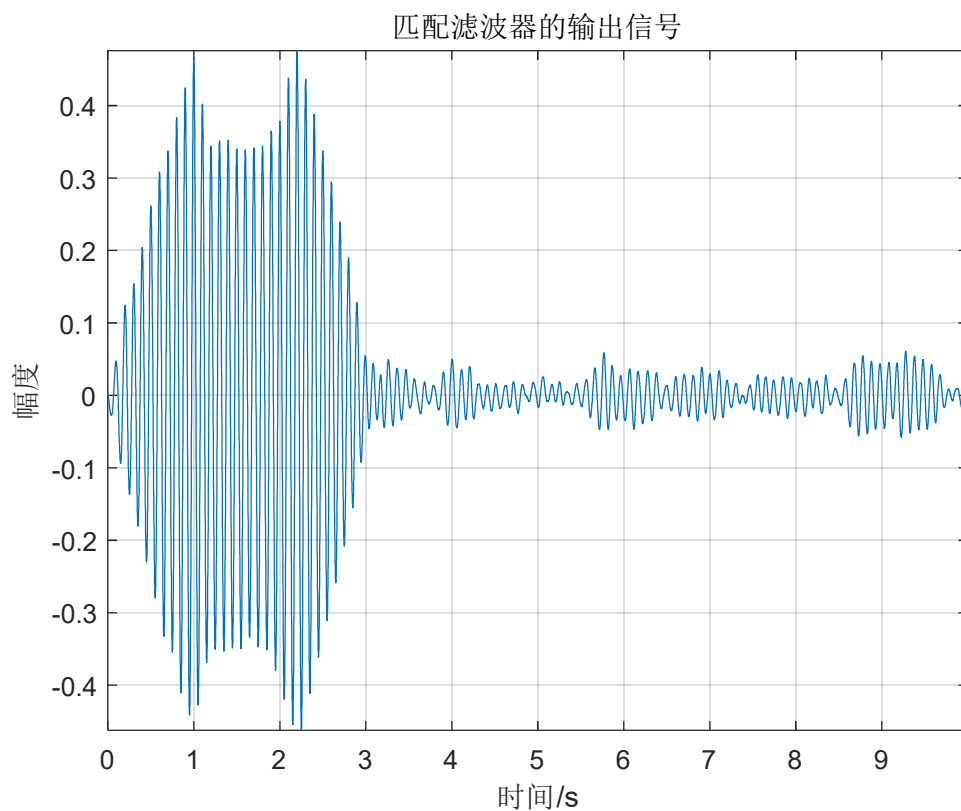


图 27.  $T=1s, f_0=10\text{HZ}$ , SNR 为 0dB 时的 MF 输出

由图 25 与 26 可得，此时输出有混叠产生，不能分辨原信号及其延迟信号的峰值，主要原因是时延比原信号时宽  $T$  小。如果像图 27，使时延大于时宽  $T$ ，则可以分辨出原信号与延迟信号。改变其他参数的结果同上分析，不再赘述。

### (3) 第三种信号

根据 MF 理论可知：

MF 的冲激响应  $h(t)$  为输入感兴趣信号(此题为 *chirp* 信号)  $s_3(t)$  的翻转共轭，即有以下形式：

$$h(t) = K s_3^*(t_d - t)$$

其中  $K$  是一个常数，可取 1， $t_d$  为时延，为保证 MF 的冲激响应函数为因果信号。对于本题 *chirp* 信号来说， $t_d$  可取大于等于其时宽的数，但是由于数字系统可以利用系统中数据的存储性能，所以非因果系统可以实现，但是不能做到实时性，即有延时，故  $t_d$  取值并不是很重要，可以取 0。对于模拟系统，非因果系统的确无法实现，此题，取  $t_d = T$ ，从而保证系统的因果性，又因为输入感兴趣信号  $s_3(t)$  为实信号，故可得：

$$h(t) = s_3(T - t) = A R_T(T - t) \sin \left[ \omega_0(T - t) + k(T - t)^2 / 2 \right] = A R_T(t) \sin \left[ \omega_0(T - t) + k(T - t)^2 / 2 \right]$$

此题取  $A=1, T=1, f_0=10\text{Hz}, k=100 \text{ rad/s}$ 。

由此可得下图：



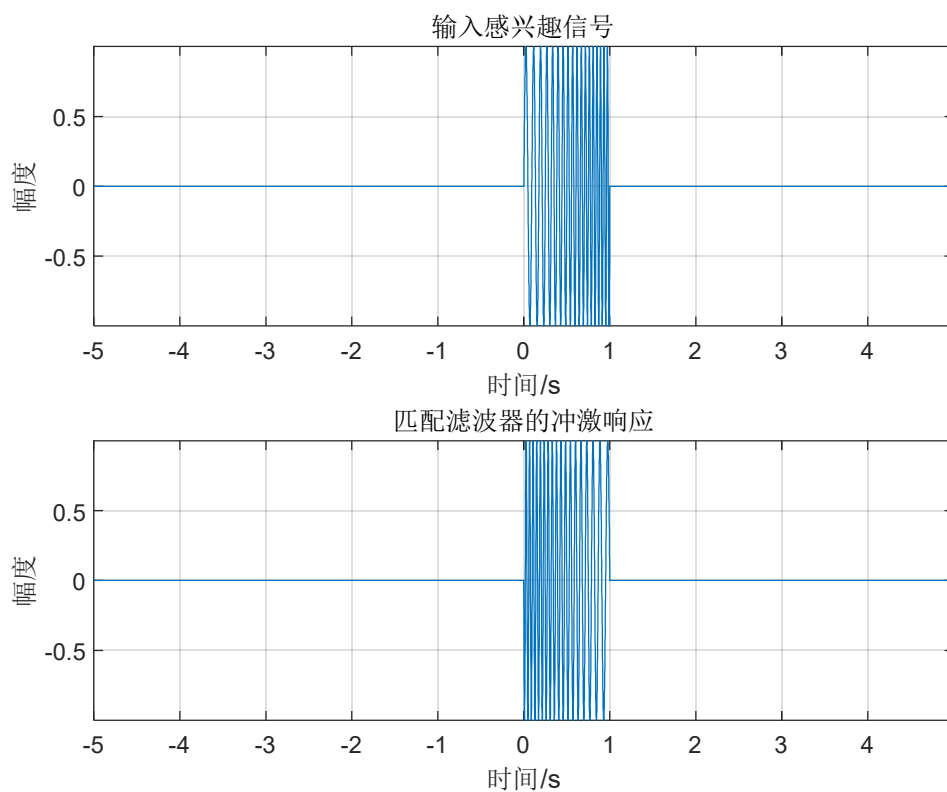


图 28.输入感兴趣信号与 MF 的冲激响应

无噪声时的输出信号为：

$$s_o(t) = s_3(t) * h(t) = F^{-1} [s(j\omega) \cdot H(j\omega)]$$

有噪声时的输出信号为：

$$x_o(t) = x_i(t) * h(t) = F^{-1} [x(j\omega) \cdot H(j\omega)]$$

其中  $x_i(t) = s_3(t) + n_i(t)$  ( $n_i(t)$  为输入白噪声信号)。由于输出信号含有噪声信号，故无法给出其具体的表达式。

可得下图：

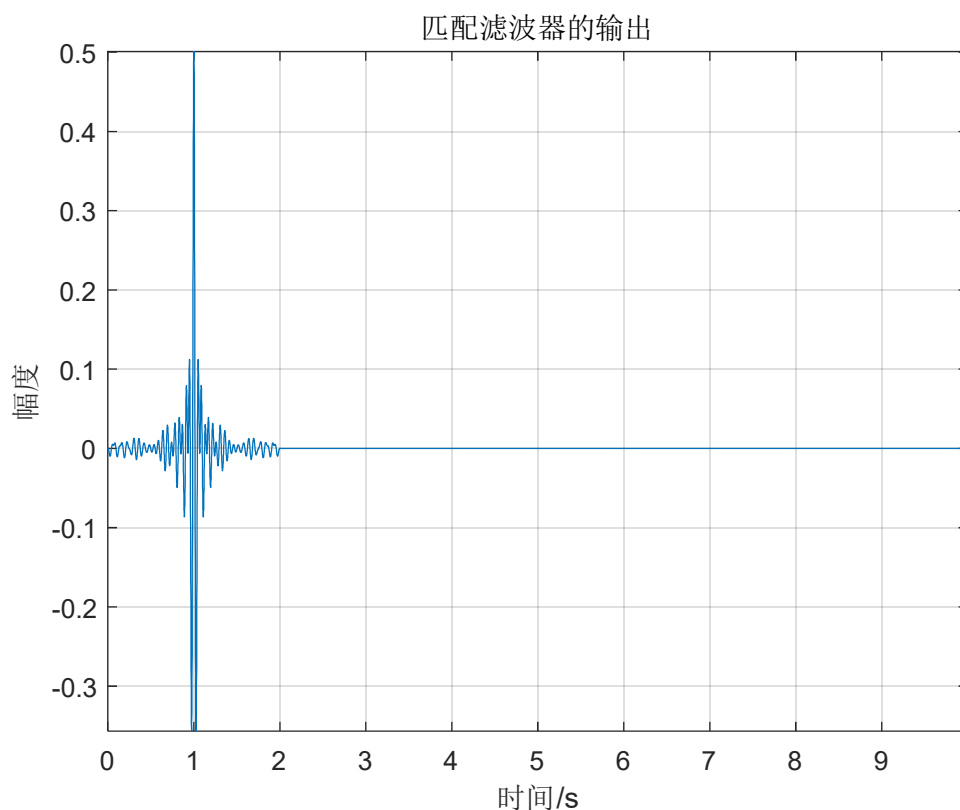


图 29.未加噪声的 MF 的输出信号

通过改变 *chirp* 信号的时宽  $T$ ，令  $T=2,3$  变化，可以从匹配滤波器输出看到输出的最大峰值随 *chirp* 信号时宽  $T$  正比例增大，且最大值取值对应于  $t_d=T$  处，分析方法同(1)，这里不赘述。

通过改变 *chirp* 信号的频率  $f_0$ ，令  $f_0 = 20, 30\text{HZ}$  变化，可以从匹配滤波器看到输出信号只是频率发生了改变，最大峰值的位置及最大值并没有改变，分析方法同(2)，这里不赘述。

通过改变 *chirp* 信号的调频率  $k$ ，令  $k = 200, 300\text{rad/s}$  变化，可得到下图：

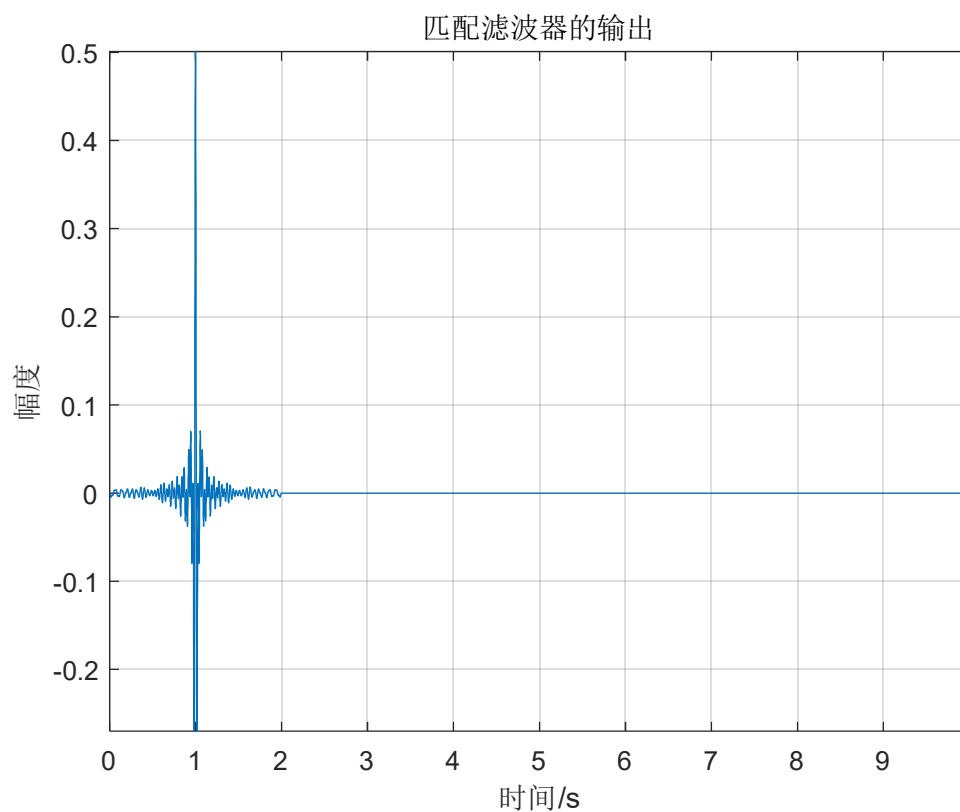


图 30.  $T=1s, f_0=10Hz, k=200rad/s$  时的 MF 输出

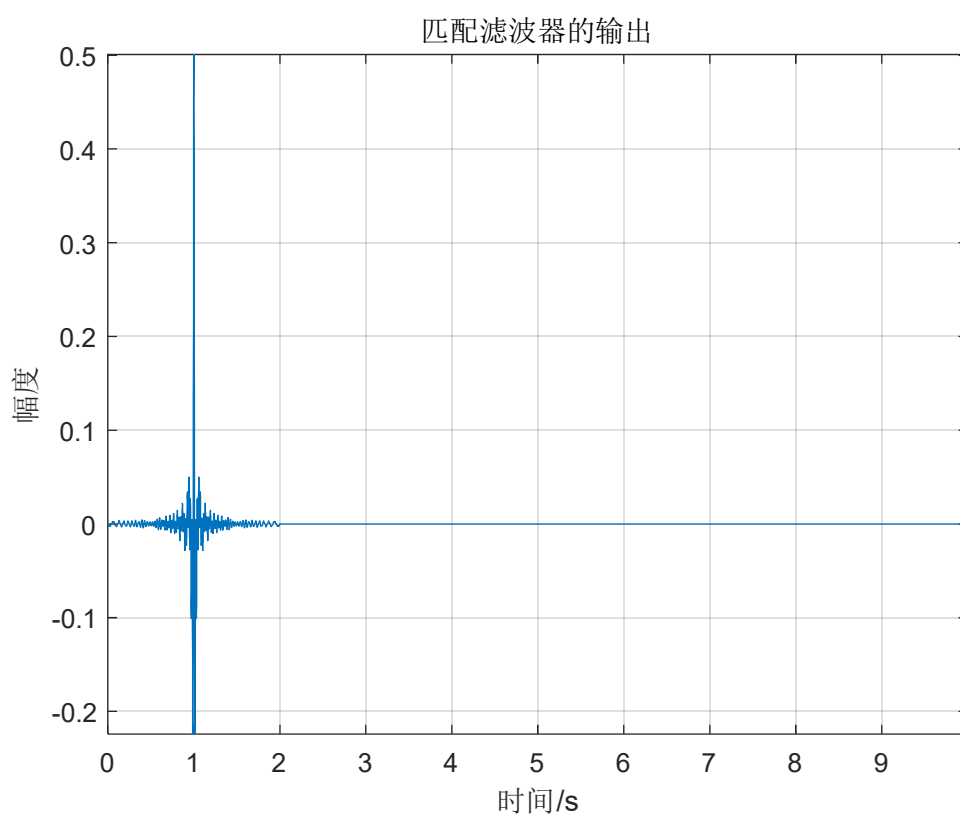


图 31.  $T=1s, f_0=10Hz, k=300rad/s$  时的 MF 输出

由图 30,31 可知，改变调频率  $k$ ，输出信号只是频率发生变化，

最大值的位置及最大值并没有改变，输出信号包络也没改变,信号能量更集中于 $t_d = T$ 处。

考虑输入有高斯白噪声，令 SNR=0,10,20dB 变化，可得输出：

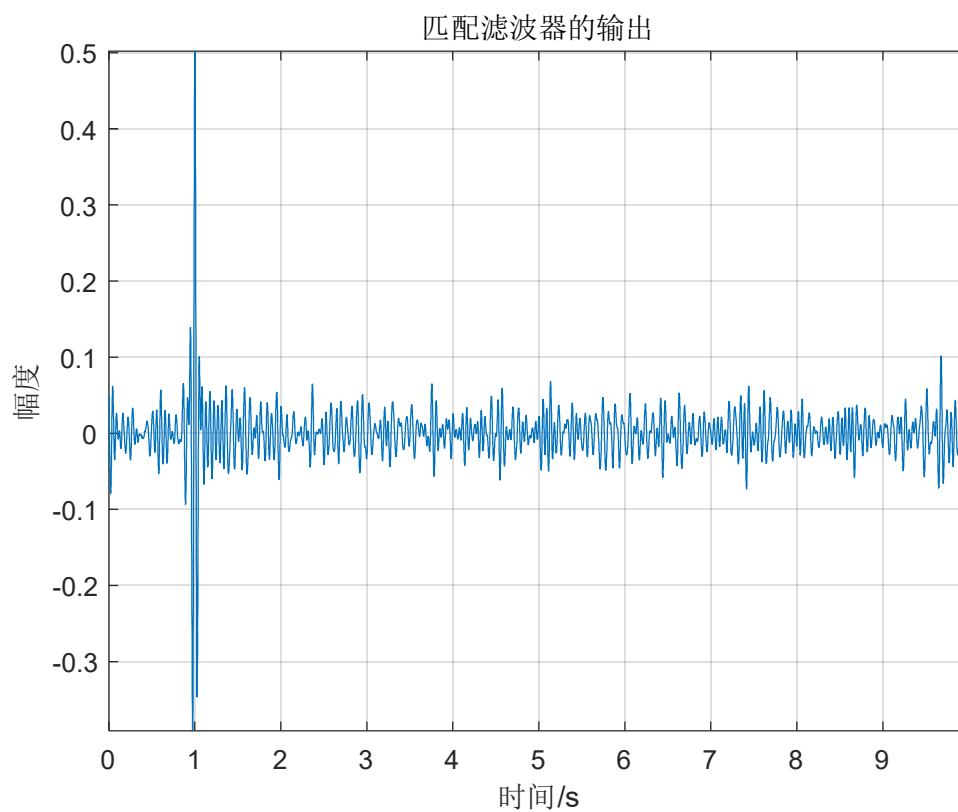


图 32.  $T=1s, f_0=10\text{HZ}, k=100\text{rad/s}$ , SNR 为 0dB 时的 MF 输出

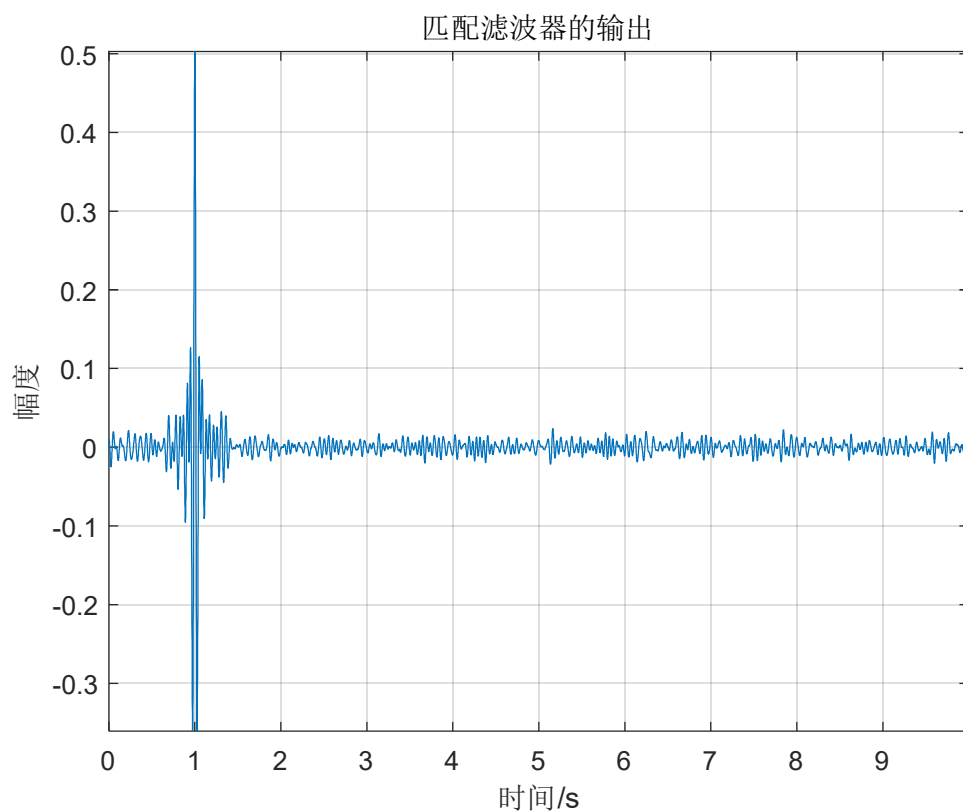


图 33.  $T=1s, f_0=10\text{HZ}, k=100\text{rad/s}$ , SNR 为 10dB 时的 MF 输出

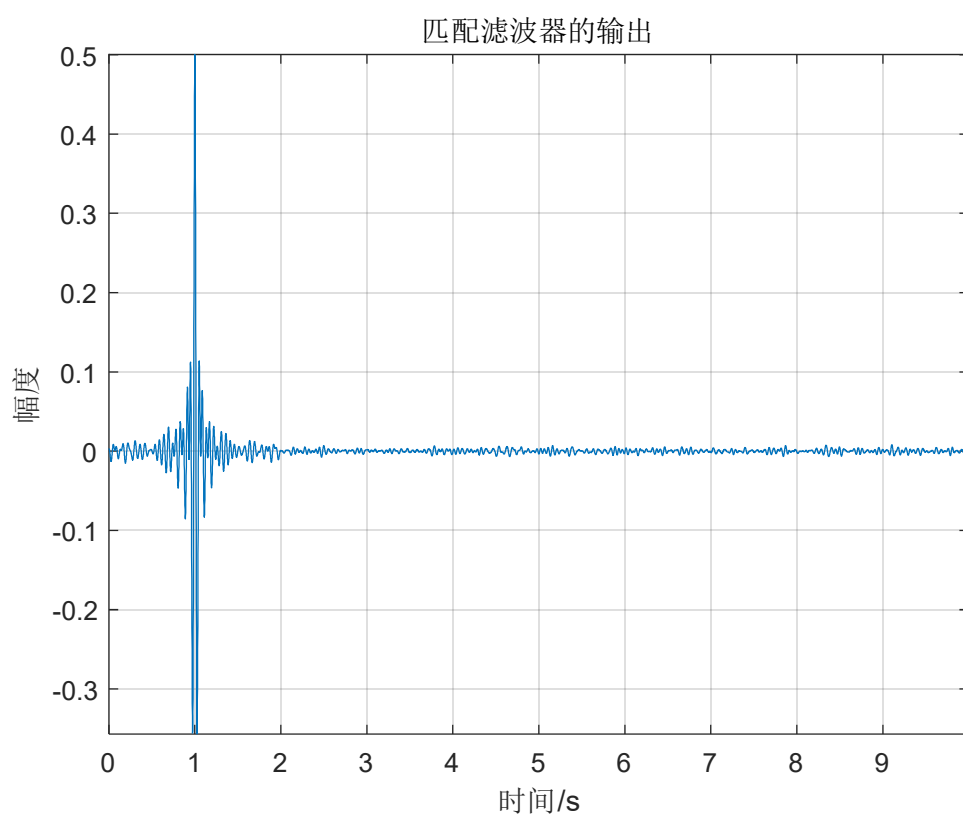


图 34.  $T=1s, f_0=10\text{HZ}, k=100\text{Hz/s}$ , SNR 为 20dB 时的 MF 输出

由图 32 至 34 可知，SNR 越大，噪声对输出波形的影响越小，

但不影响取最大值的位置  $t_d=T$ 。改变  $T, f_0, k$  的效果同以上分析，这里不再赘述。

考虑延迟信号，很明显当  $\tau_0 \geq 2T$  时，延迟信号与原信号输出响应互不干扰，没有叠加部分。这里只讨论  $\tau_0 < 2T$  的情况。令  $\tau_0=0.8T$ ，可得输出：

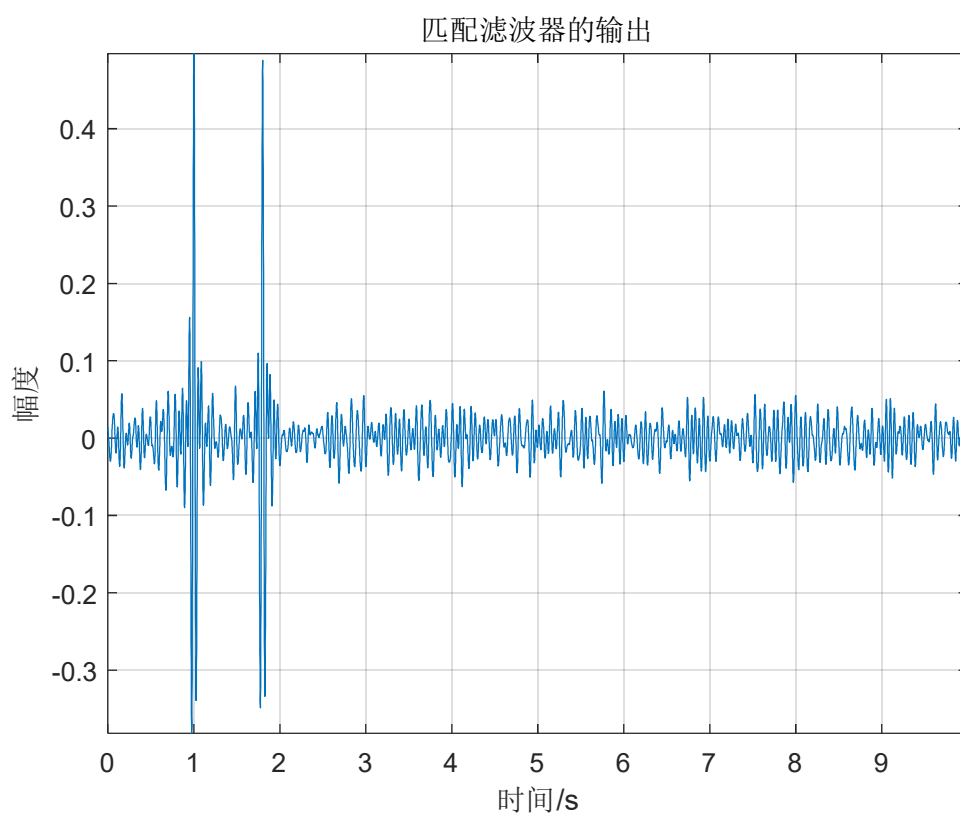


图 35.  $T=1s, f_0=10HZ, k=100rad/s, SNR$  为 0dB 时的 MF 输出

令  $\tau_0=T$ ，可得输出：

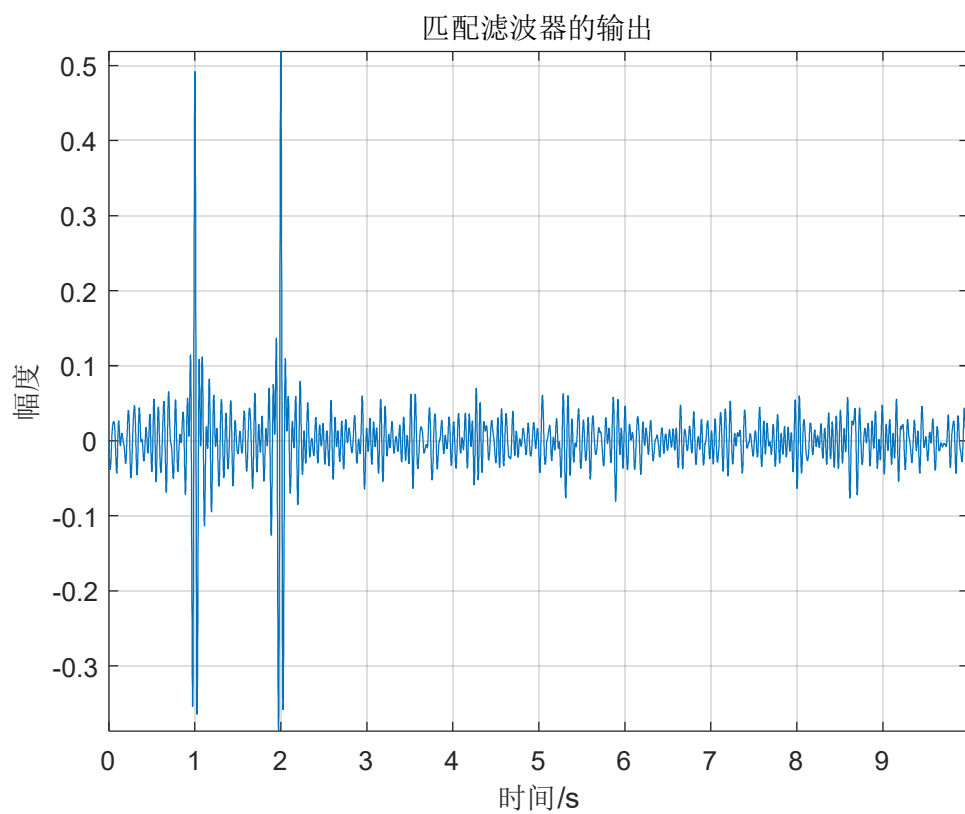


图 36.  $T=1s, f_0=10HZ, k=100rad/s$ , SNR 为 0dB 时的 MF 输出

令  $\tau_0=1.2T$ , 可得输出:

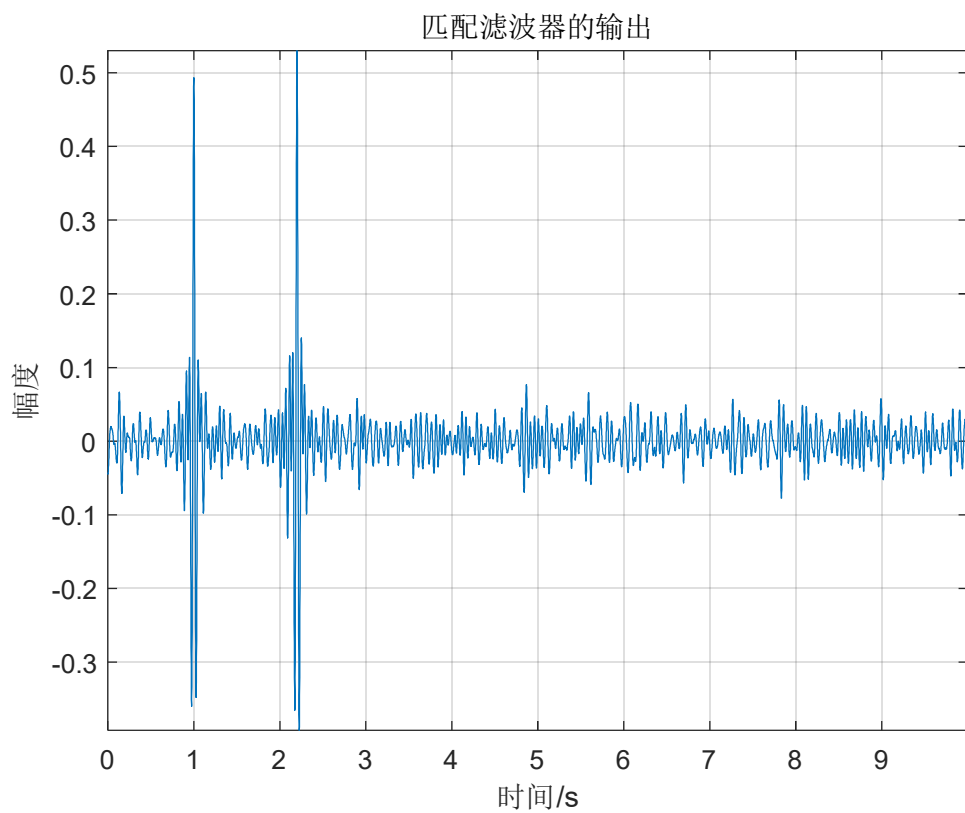


图 37.  $T=1s, f_0=10HZ, k=100rad/s$ , SNR 为 0dB 时的 MF 输出

加入延迟信号，相当于对原信号及其延迟信号做 MF，此时输出有部分混叠产生，但可以分辨原信号及其延迟信号的峰值，这就是线性调频信号为什么在雷达信号处理里面广泛应用的原因，因为其匹配滤波特性特别好。改变其他参数的结果同上分析，不再赘述。

#### (4) 第四种信号

根据 MF 理论可知：

MF 的冲激响应  $h(t)$  为输入感兴趣信号(此题为二进制相移键控信号)  $s_4(t)$  的翻转共轭，即有以下形式：

$$h(t) = K s_4^*(t_d - t)$$

其中  $K$  是一个常数，可取 1， $t_d$  为时延，为保证 MF 的冲激响应函数为因果信号。对于本题二进制相移键控信号来说， $t_d$  可取大于等于其时宽的数，但是由于数字系统可以利用系统中数据的存储性能，所以非因果系统可以实现，但是不能做到实时性，即有延时，故  $t_d$  取值并不是很重要，可以取 0。对于模拟系统，非因果系统的确无法实现，此题，取  $t_d = T$ ，从而保证系统的因果性，又因为输入感兴趣信号  $s_4(t)$  为实信号，故可得：

$$h(t) = s_4(T - t) = \sum_{k=0}^{N-1} A c_{N-1-k} R_\tau(t - k\tau) \sin[\omega_0(T - t)]$$

此题取  $A=1, T=1, \tau=0.1$ ， $\omega_0 = 2\pi f_0 = 20\pi \text{ rad/s}$ 。

可得下图：



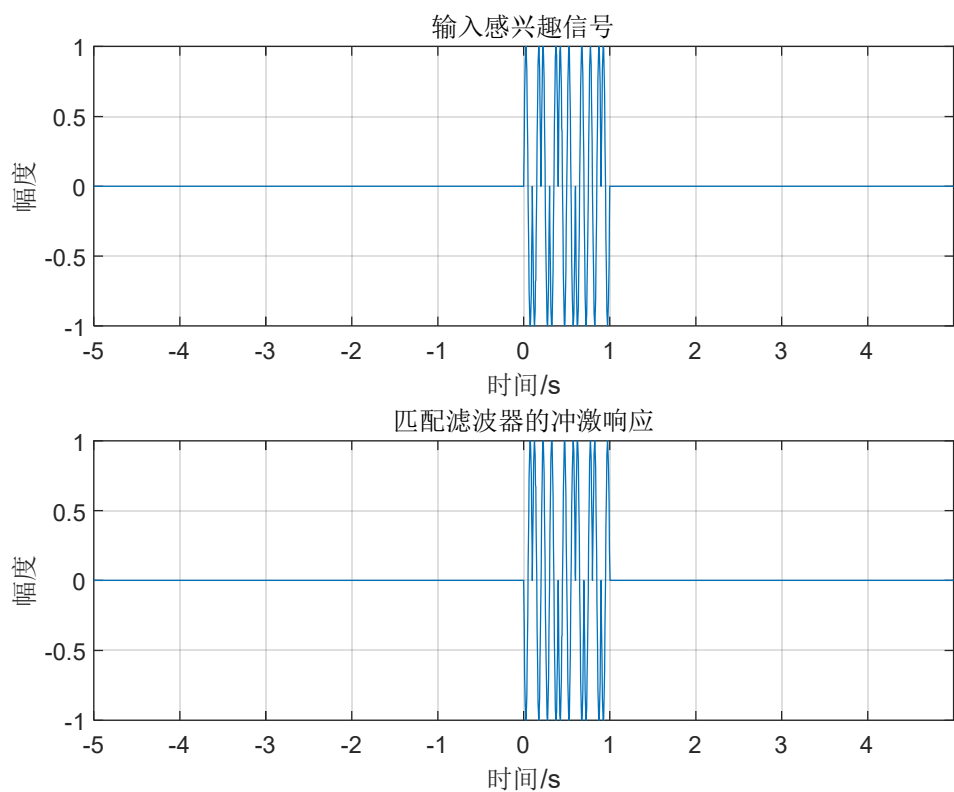


图 38.输入感兴趣信号与  $MF$  的冲激响应

无噪声时的输出信号为：

$$s_o(t) = s_4(t) * h(t) = F^{-1} [s(j\omega) \cdot H(j\omega)]$$

有噪声时的输出信号为：

$$x_o(t) = x_i(t) * h(t) = F^{-1} [x(j\omega) \cdot H(j\omega)]$$

其中  $x_i(t) = s_4(t) + n_i(t)$  ( $n_i(t)$  为输入白噪声信号)。由于输出信号含有噪声信号，故无法给出其具体的表达式。

可得下图：

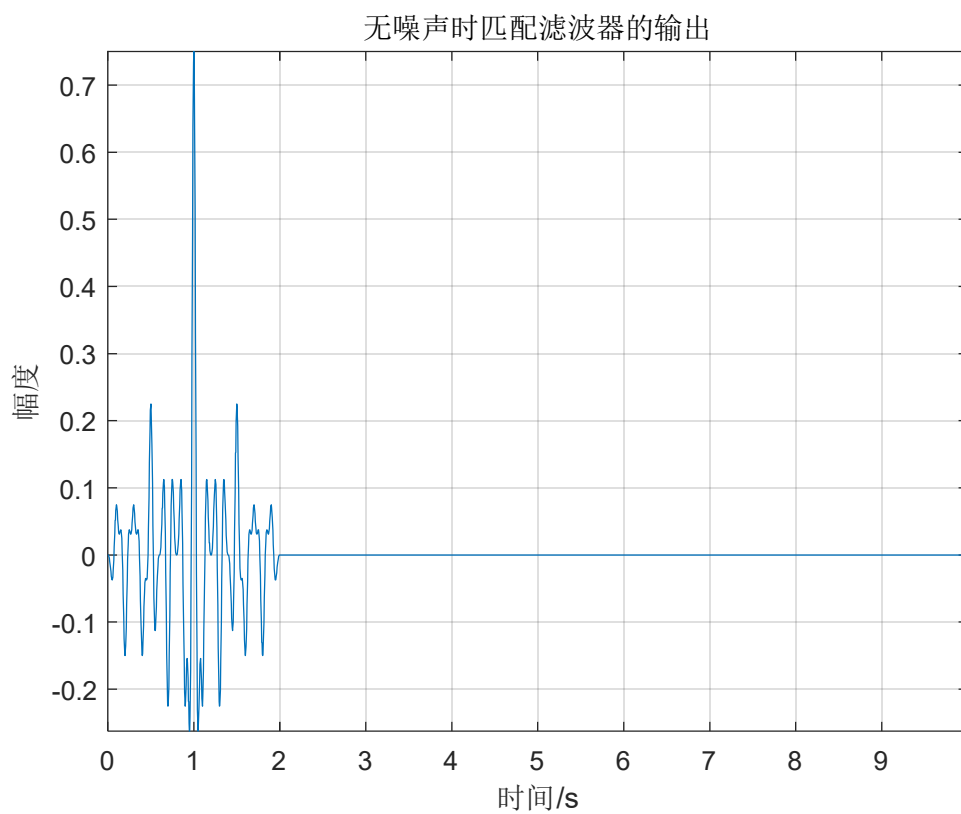


图 39.  $T=1, N=10, f_0=10\text{Hz}$  时的 MF 输出

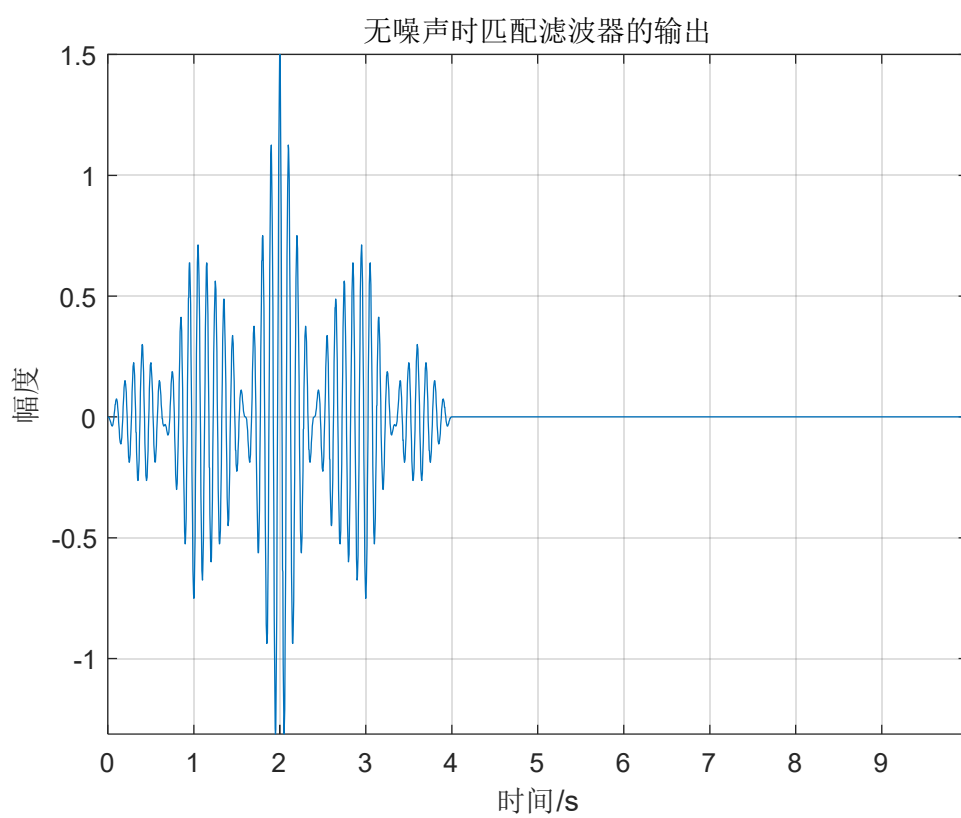


图 40.  $T=2, N=10, f_0=10\text{Hz}$  时的 MF 输出

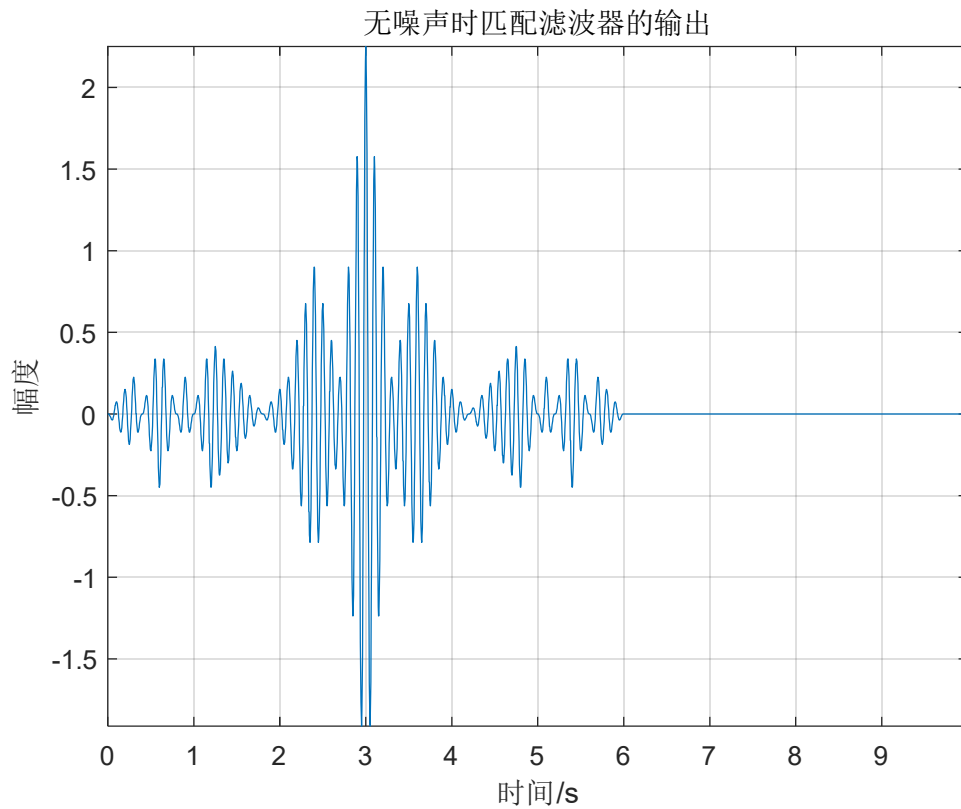


图 41.  $T=3, N=10, f_0=10\text{HZ}$  时的 MF 输出

由图 39 到图 41 可知，改变时间长度  $T$  只会影响输出信号的最大峰值的大小，且最大峰值随  $T$  线性增大；输出最大峰值取值位置由  $t_d$  决定，即为  $T$ 。

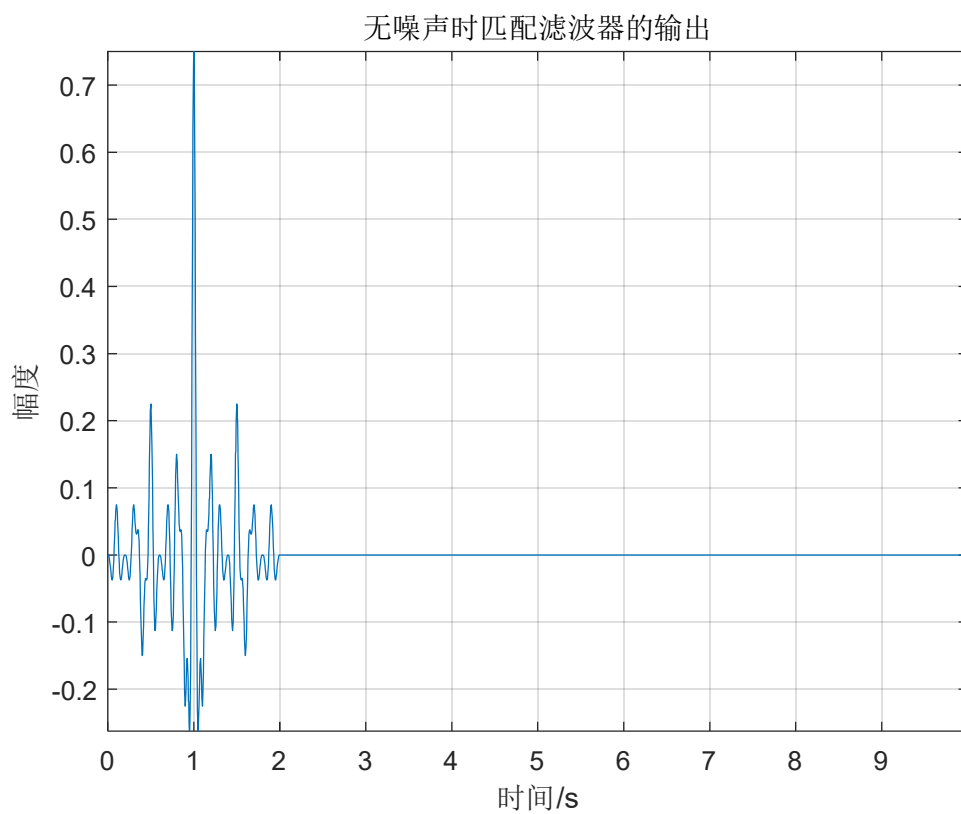


图 42.  $T=1, N=10, f_0=10\text{Hz}$  时的 MF 输出

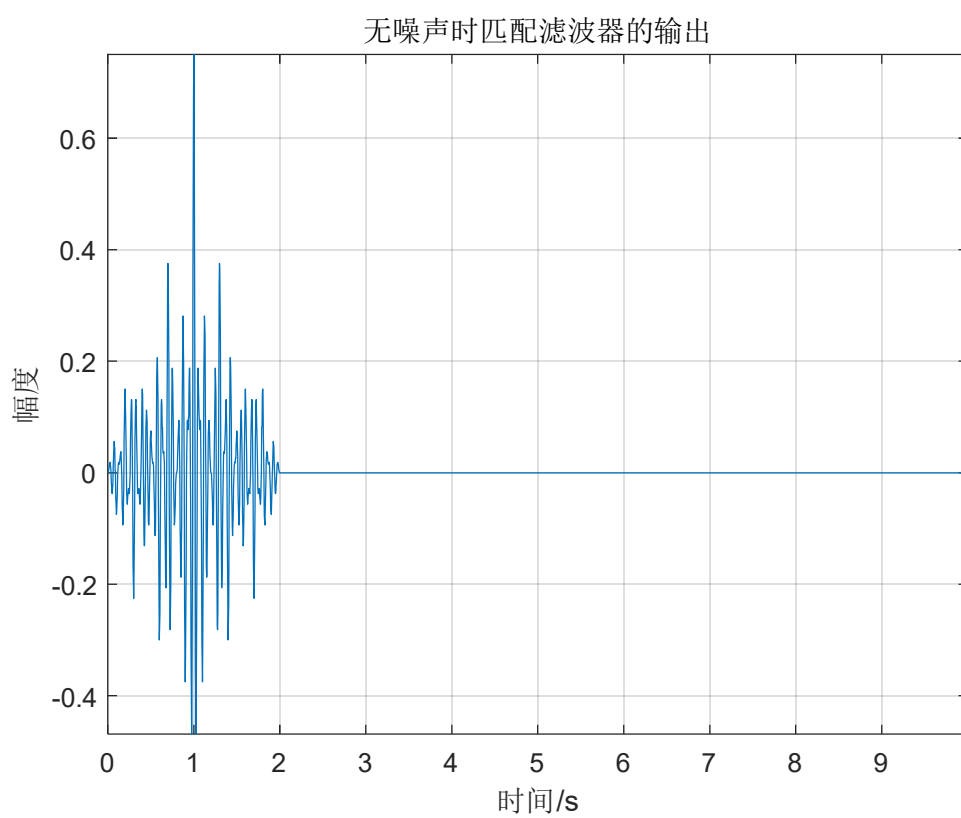


图 43.  $T=1, N=10, f_0=20\text{Hz}$  时的 MF 输出

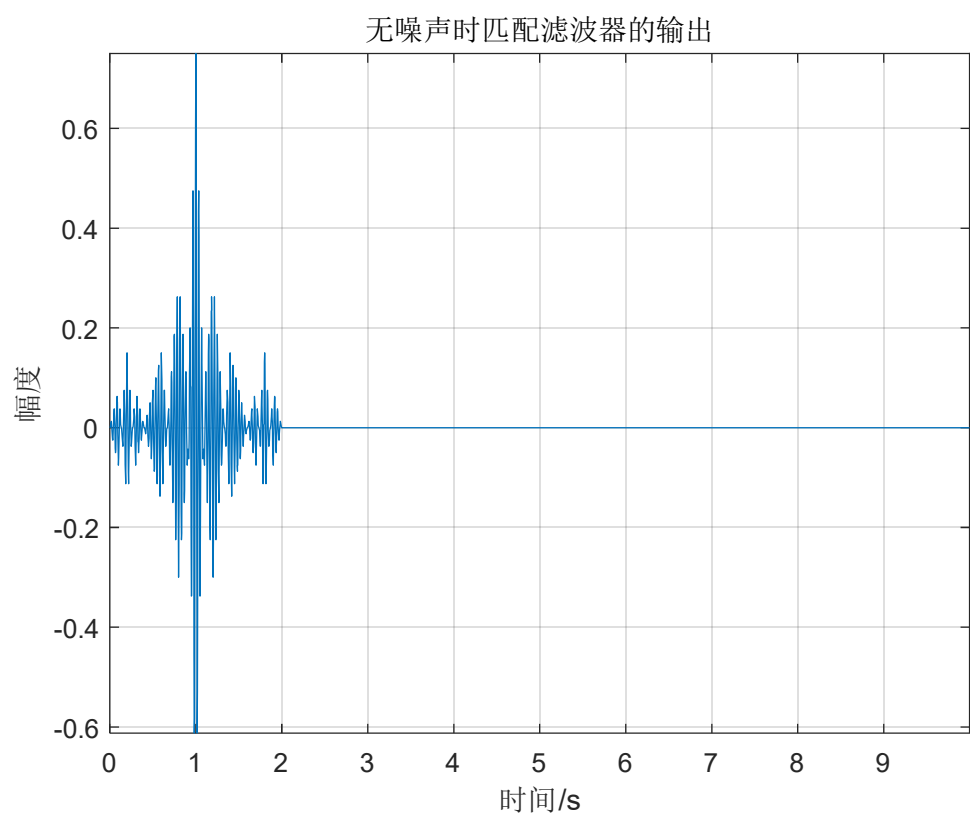


图 44.  $T=1, N=10, f_0=30\text{HZ}$  时的 MF 输出

由图 42 到图 44 可知，改变频率  $f_0$  只会影响输出信号的频率，对其他没影响。

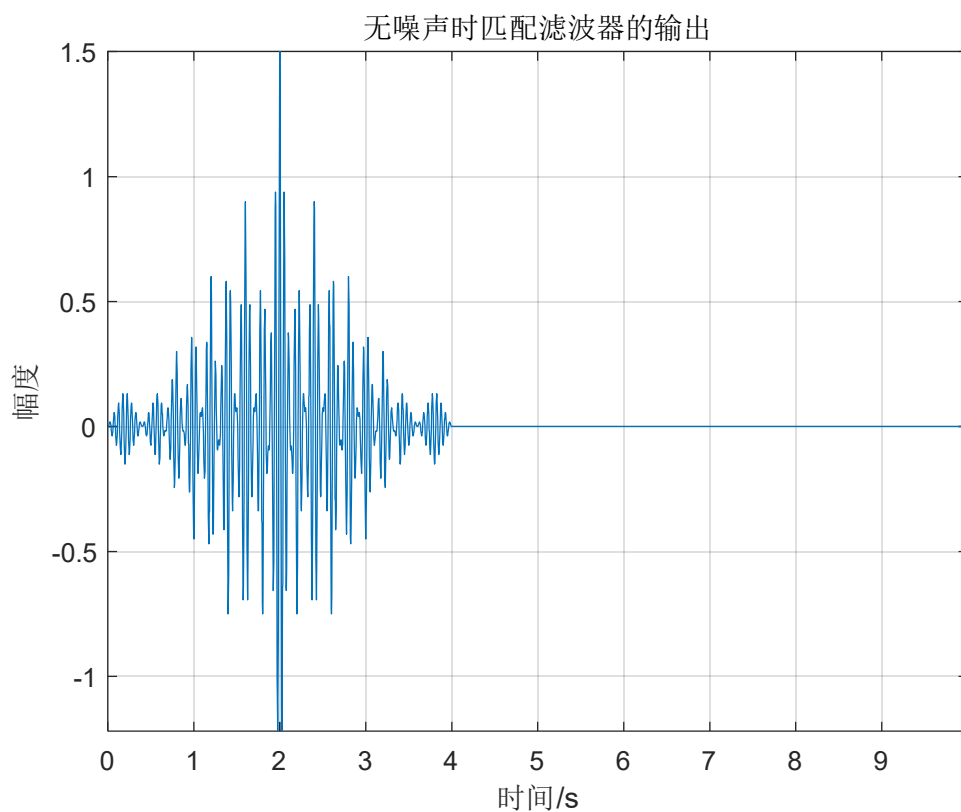


图 45.  $T=2, N=10, f_0=20\text{HZ}$  时的 MF 输出

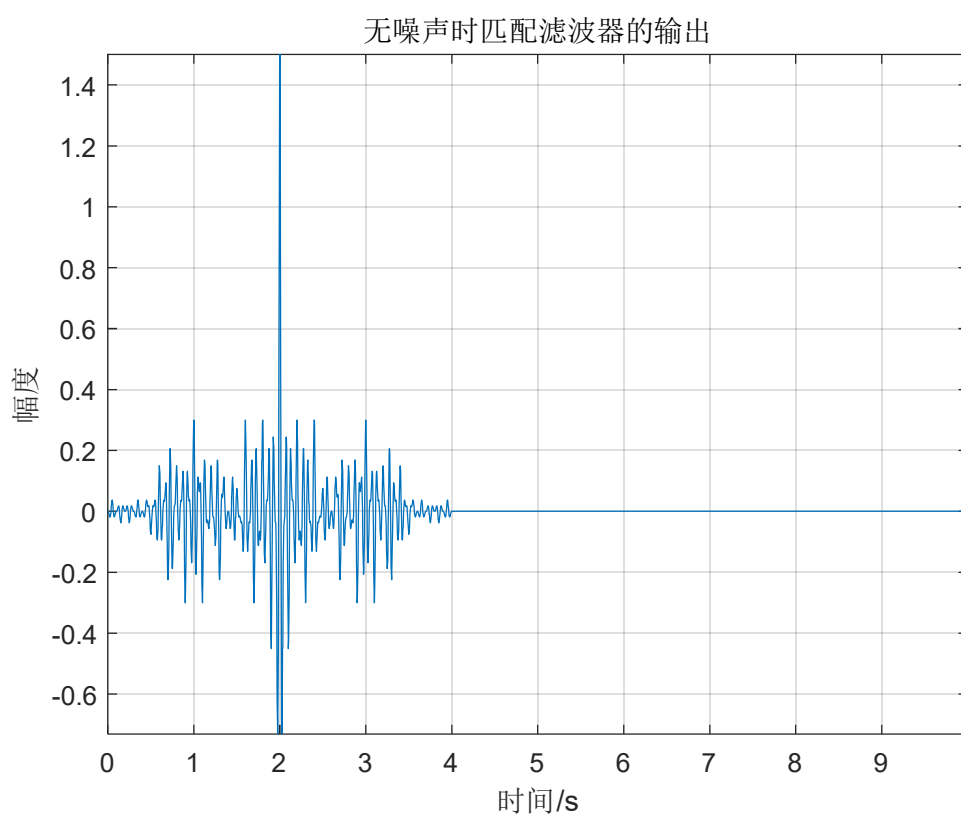


图 46.  $T=2, N=40, f_0=20\text{HZ}$  时的 MF 输出

由图 45 到图 46 可知，当  $T$  不变时，改变  $N$ ，相当于改变码元

长度 $\tau$ 。当 $N$ 增大时，旁峰会减少。

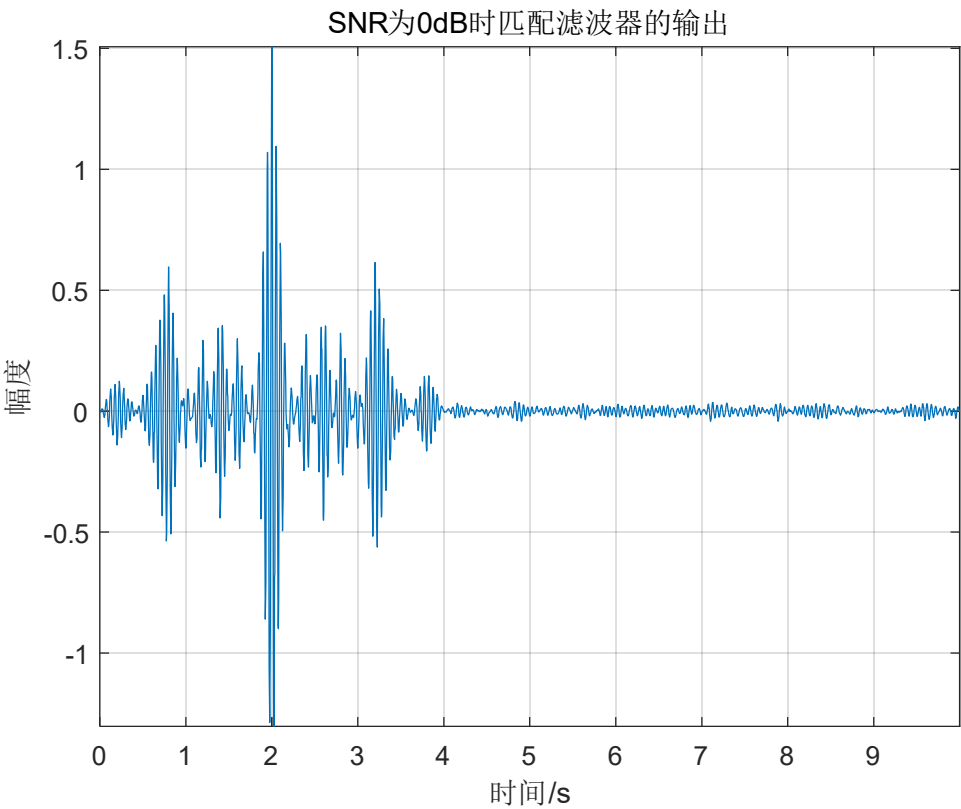


图 47.  $T=2, N=10, f_0=20\text{HZ}$  时的 MF 输出

由图 47 可知，噪声对 MF 输出结果影响不大。

考虑延迟信号，很明显当 $\tau_0 \geq 2T$ 时，延迟信号与原信号输出响应互不干扰，没有叠加部分。这里只讨论 $\tau_0 < 2T$ 的情况。令 $\tau_0=0.8T$ ，可得输出：

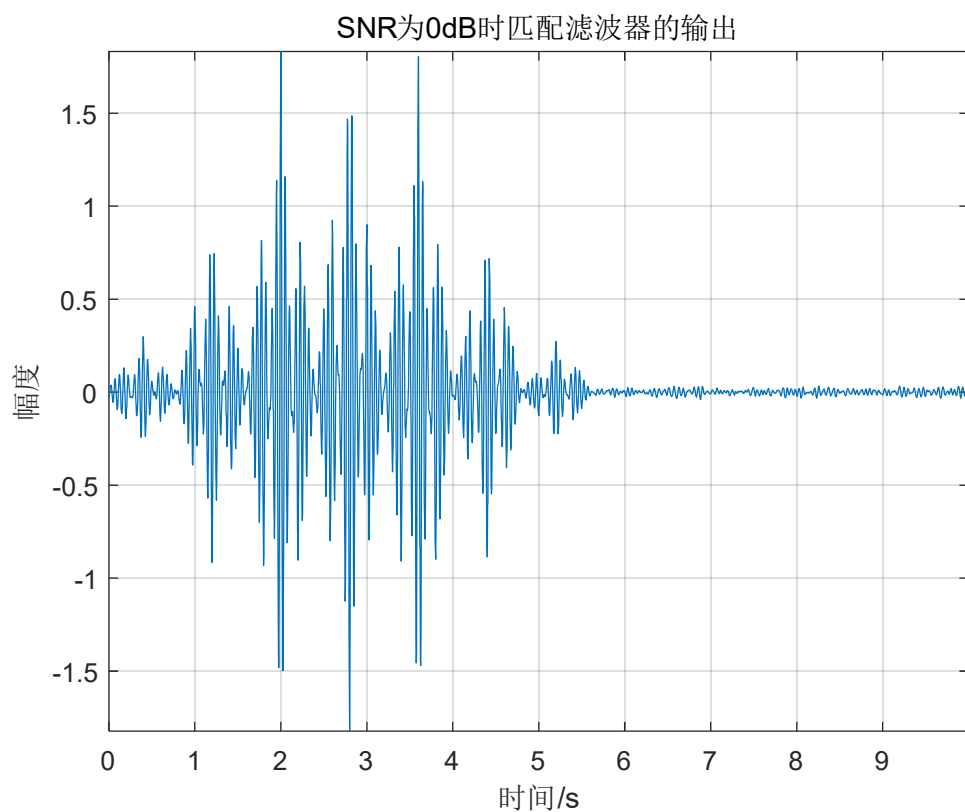


图 48. 感兴趣信号及其延迟信号 MF 后输出

令  $\tau_0=T$ , 可得输出:

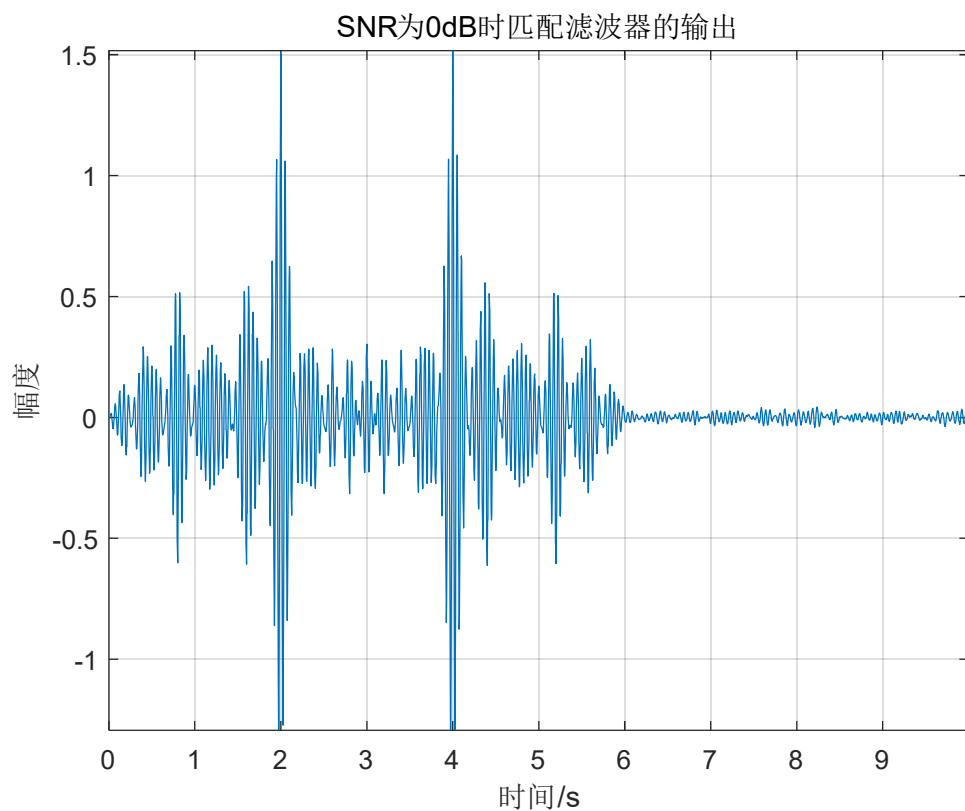


图 49. 感兴趣信号及其延迟信号 MF 后输出



令  $\tau_0 = 1.2T$ , 可得输出:

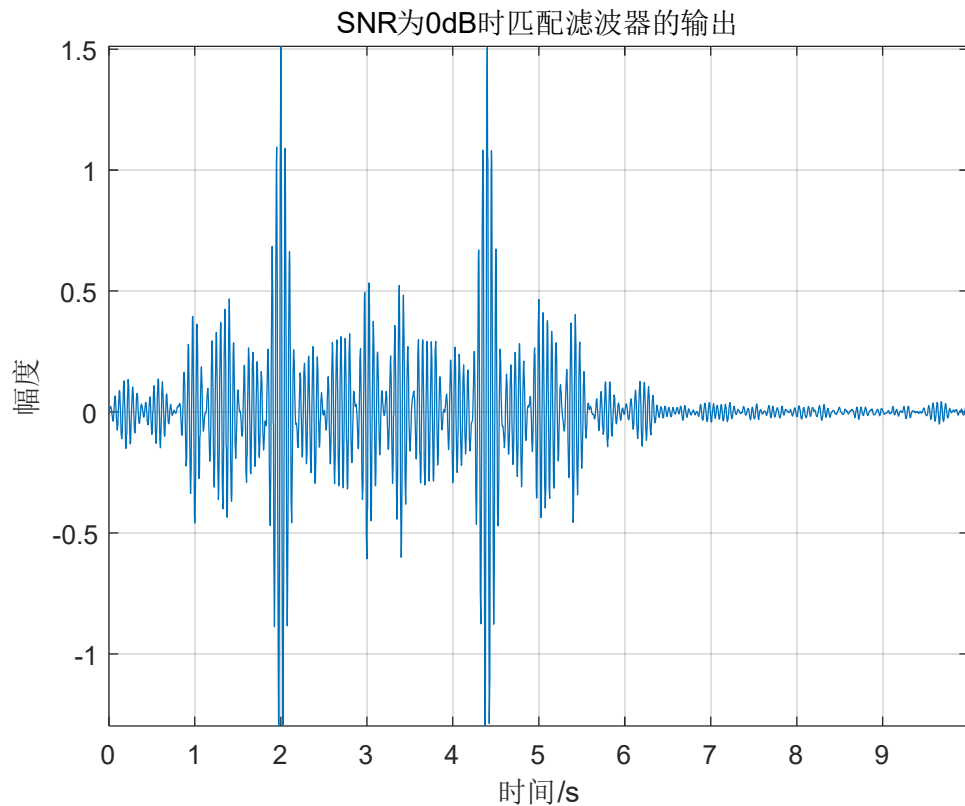


图 50. 感兴趣信号及其延迟信号 MF 后输出

加入延迟信号, 相当于对原信号及其延迟信号做 MF, 当  $\tau_0$  大于  $T$  时, 两个旁峰不会较大程度混叠, 可明显分辨出来; 当  $\tau_0$  小于  $T$  时, 两个旁峰会较大程度混叠, 不可明显分辨出来, 但仍可分辨, 这也是相位编码信号在雷达信号处理广泛应用的原因。改变其他参数分析同上, 不再赘述。

综和(1)(2)(3)(4)可得, 脉冲宽度  $T$  影响输出信号的最大幅值;  $\tau$  与  $N$  会影响输出的旁峰个数;  $t_d$  决定输出信号最大值位置; 噪声会引起输出信号的起伏, 过大会淹没输出信号; 调制载波频率  $f_0$  只会引起输出信号频率的变化; *chirp* 信号调频率也只会引起输出信号频率的变化; 应当注意改变载波频率与调频率时应避免产生混叠; MF 对延

迟信号具有适应性， $\tau_0$  大于脉冲宽度  $T$  时，可明显分辨两个旁峰。

## 参考文献

[1] 赵树杰, 赵建勋. 信号检测与估计理论[M]. 清华大学出版社, 2005.